63

PROJETO COLIDER

RELATÓRIO PRELIMINAR DE PESQUISA

<u>AREAS</u> : <u>DNPM</u> - 866.211/82

. 866.212/82

866.213/82 `

866.214/82

866.215/82

866.216/82

866.217/82

866.218/82

866,219/82

ANTONIO JOÃO PAES DE BARROS — GEÓLOGO — WANDERLEI MAGALHÃES DE REZENDE - GEÓLOGO WILCE AQUINO DE FIGUEIREDO - GEÓLOGO COMPANHIA MATOGROSSENSE DE MINERAÇÃO - METAMAT

SERAFIM CARVALHO MELO - DIRETOR PRESIDENTE

SERAFIM CARVALHO MELO - DIRETOR TÉCNICO

LOURIVAL ALVES VASCONCELOS - DIRETOR DE OPERAÇÕES

MARIO ANTUNES DE ALMEIDA FILHO - DIR. ADMINISTRATIVO E FINANCEIRO.

GOVERNO DO ESTADO DE MATO GROSSO
WILMAR PERES DE FARIAS
SEC. DE IND. COMERCIO E TURISMO

VARJÃO

VALDON

PROJETO COLIDER

EQUIPE EXECUTORA

GEÓLOGOS : Antonio João Paes de Barros

Gercino Domingos da Silva

Wanderley Magalhães de Rezende

Wilce Aquino de Figueiredo

TÉCNICOS : Alan Kadero Elias Martins

Amir Chaves Barbosa

Antonio da Silva Lisboa

Félix Vieira Lima

MOTORISTAS : Ambrosino Bonifácio Santos

José Roque Soares

José Rodrigues Primo Neto

Ivo Abrão Narsadem

DESENHISTAS : Joaquim Pedro Ribeiro

Roberto Carlos Ribeiro

DATILOGRAFIA : Cleocema Costa Sales

Sâmia Barros Nery



APRESENTAÇÃO

Este relatório refere-se aos trabalhos de pesquisa desenvolvidos até então nas áreas abrangidas pelo Projeto Colider. Inicial mente efetuado através de reconhecimento geológico em todas as áreas na escala 1:50.000, que serviu de base para reconhecer a potencialidade das áreas e propor a seleção de uma das áreas para prospecção de semi- detalhe na escala 1:25.000, com definição dos sub-alvos importantes para ouro e me tais base como chumbo e zinco, finalmente em última fase de prospecção foram abertas malhas, com coleta de solo, rochas, sedimento de corrente e concentrado de bateia nos sub-alvos detectados anteriormente, em uma escala 1:5.000 visando confirmar ocorrência de mineralização, bem como encontrar rochas que justifiquem o controle da mineralização, afim de que possa mos conduzir adquadamente os trabalhos de pesquisa nesta e nas demais áreas do Projeto.

Ressaltamos que os dados analíticos referentes a última etapa de prospecção citada, não estavam disponíveis quando da elaboração deste relatório parcial, portanto, este apresenta dados analíticos 'apenas das etapas anteriores. Sendo que os trabalhos de detalhamento dos sub-alvos, estão apresentados apenas em mapas na escala 1:5.000, com os perfis realizados e os dados geologícos disponíveis descritos no texto.

. . . /



SUMÁRIO

		1	
1	. INT	RODUÇÃO/	01
2	. LOC	ALIZAÇÃO E VIAS DE ACESSO	03
3.	. ASP	ECTOS FISIOGRAFICOS	02
4	. GEO	LOGIA REGIONAL	03
5	. GEO	LOGIA LOCAL	05
	5.1	. Complexa Xingu	06
	5.2	. Super Grupo Vatumã	06
•		5.2.1. Grupò hariris. Nalosvieba	06
		5.2.2. Granito Tipo Maloquinha	07
	5.3	. Grupo Beneficiente	08
	5.4	. Diabasio Creporí	08
	5.5	. Unidade Detrit s Lateritica	08
	5.6	. Aluviões Recentes	09
6.	PROS	PECÇÃO GEOQUÍMICA DE SEMI DETALHE	09
	6.1.	Sumário	09
	6.2.	Metodologia	10
		6.2.1 De Amostragem	10
		6.2.2 - Processos Analiticos	11
	6.3.	Procedimentos Estatisticos	12
		6.3.1. Sedimento de Corrente	13
		6.3.2. Concentrado de Bateia	17
7.	AVAL:	IAÇÃO DOS RESULTADOS	18
	7.1.	Sedimento de Corrente	18
		7.1.1 Metais Base	18
		7.1.2. Ouro	19
		7.1.3. Outros Elementos	19

	7.2. Concentrado de Bateia	20
	7.3. Conclusões e Recomendações	20
8.	PROSPECÇÃO GEOQUÍMICA DE DETALHE	21
•	8.1. Sub-Alvo "Ax"	21
	8.1. Sub-Alvo "Ab"	22
	8.1. Sub-Alvo "By"	22
9.	JUSTIFICATIVA PARA O PROSSEGUIMENTO DA PESQUISA	23
10.	BIBLIOGRAFIA	23
11.	ANEXOS	
	Fig. Ol – Mapa de Localização e Acessos	•
	Fig: O2 - Coluna Estratigrafica Proposta	
	Tabela Ol – Resumo dos Resultados Analiticos para Ouro	•
	Tabela O2 → Teores de Ouro em ppm/e mg/m³	
	Anexo Ol – Descrição das Rochas	
	Anexo O2 - Modelo da Folha de Descrição de Estação de Amostragem	
	Anexo 03 - Boletins de Analises Químicas	
	Anexo 04 - Fichas de Descrição Petrograficas	
	Anexo O5 — Bolentins de Analises Petroquímicas	
	Anexo O6 - Mapa Geologico Esquemático	
	Anexo 07 - Mapa Integrado de Zonas Anômalas para Ouro, Cobre, Chumb	ο,
	Zinco, Cobalto e Niquel	
	Anexo O8 – Mapa de Zonas Anômalas para Ferro, Manganês, Tório e Tit	ânio
	Anexo 09 - Mapa do Sub-Alvo "Ax"	
	Anexo 10 - Mapa do Sub-Alvo "Ab"	
	0 11 M C 0.1 BD H	

- 01 -

1 - INTRODUÇÃO

Após o início dos trabalhos de reconhecimento geolo gico realizado concomitante ao cadastramento de centenas de superficiários, a fim de se obter consentimento para executar os trabalhos de pesquisa, ficou constatado a inviabilidade de desenvolver simultaneamente todas as 'áreas do projeto. Uma vez que, além de condições de infra estrutura, acesso e instrumentais não permitirem tal, existia um outro fator limitante, qual'seja; o desconhecimento geológico da região.

Desta forma esta empresa optou por selecionar uma' das áreas que mostrou condicionamento geológico mais interessante, quando ' do reconhecimento, a fim de caracteriza: —là metalogeneticamente, obtendo ' assim subsídios para prospectar as demais áreas.

2 - LOCALIZAÇÃO E VIAS DE ACESSO

O bloco de áreas de 90.000 ha do Projeto Colíder es ta localizado no centro norte do Estado de Mato Grosso as margens da rodo - via BR 163 (Cuiabá - Santarém), MT 214 acesso para Colider e MT 208, acesso para Alta Floresta, conforme mapa de localização e acesso (Fig. 01).

A partir das rodovias principais citadas existem 'algumas secundárias que dão acesso a VII e VIII agrovilas de Terra Nova e a dezenas de comunidades de posseiros.

. . . /



COMPANHIA MATOGROSSENSE DE MINERAÇÃO

3 - ASPECTOS FISIOGRAFICOS

Geneticamente o clima desta região é classificado'
pelo sistema de Koppen (1984) como AM, ou seja clima quente e úmido com
chuvas do tipo monçonico, com um período de aproximadamente três meses e
cerca de 80% das precipitações pluviométricas entre os meses de outubro a
março.

Morfologicamente as áreas situam-se numa região in terplanáltica bastante dissecada denominada depressão interplanáltica da Amazônia Meridional, segundo Silva et alii (1980), localmente representada por rochas graníticas do Complexo Xingu e vulcânicas do Grupo Uatumã.

Destaca-se ainda no relevo a presença da Serra Fo<u>r</u> mosa, com requicio dos palnaltos residuais existentes ao norte, sustentada pelos meta sedimentos do Grupo Beneficiente e pelas Igneas do Grupo Vatumã.

Porém de uma forma geral predominam-se formas com superfícies aplainadas com vales amplos interflúvios peneplanizados, com feições residuais como algumas dezenas de morrotes sustentados principalmen te por intrusivas ácidas.

A drenagem deste conjunto de áreas é efetuado pelosprios Braço dois, Parado e Preto, todos afluentes da margem esquerda do rio Peixoto de Azevedo.

Localmente na área 866.211/82, nas proximidades de Colíder, destaca-se no relevo um sistema de cristas alinhadas configurando' uma estrutura semi-circular, sustentada por meta sedimentos bastante silici ficados que condiciona um padrão de drenagem sub-paralelo.

. . ./



4 - GEOLOGIA REGIONAL

.../

Em um contexto geotectônico a área pertence a parte meridional do Cráton Amazônico, unidade com história geológica complexa devido a sobreposição de inúmeros eventos, até a fase de cratonização quando passou a apresentar apenas fenômenos relativos a plataforma reflexa.

Neste cráton as rochas mais antigas, indivisas, e pertubadas foram correlacionadas ao Complexo Xingu, considerando como idade pré-cambriano indiferenciado. Sabe-se que esta associação petrotectônica 'apresenta núcleos arqueanos submetidos a sucessivos eventos até a cratonização no proterozóico médio.

O complexo Xingu é litologicamente constituído predominantemente por, migmatitos, gnaisses, anfibolito, granadioritos, granu-litos, rochas cataclásticas e granitos de anatexia.

O evento seguinte, com representação neste segmento cratônico, trata-se do super grupo Uatumã, que constitui um extenso conjunto vulcano sedimentar de natureza ácida-intermediária com idade radiométrica em torno de 1700 a 1800 m.a, conforme Silva et alii (op cit) e 'Schobbenhans et alii (1984), constituído pelo grupo Iriri e Suite intrusiva maloquinha.

O Grupo Iriri representado pelos riolitos, riodac<u>i</u>
tos, dacitos, ignimbritos, tufos, aglomerados vulcânicos, com raros andesitos e basaltos, com frações sedimentares restritas como, arenitos, arcóseos,
cherts, folhelhos, argilitos, siltitos, conglomerados polimiticos e horn fels.



- - - /

COMPANHIA MATOGROSSENSE DE MINERAÇÃO

Os granitos tipo maloquinha compreendem as manifestações sub-vulcânicas deste evento, de composição calcoalcalina, e tendên - cia alaskítica, são granitos, granófiros e microgranitos, cratogênicos com feições circulares, e grande diversificação petrográfica, predominando po - rém, tipos como alaskitos, biotita granitos, granófiros, granodioritos e 'até dioritos.

Após o evento Uatumã, outros eventos instalaram na plataforma semi-consolidada gerando inúmeras coberturas de plataforma. Caso do Grupo Beneficiente, considerado por Silva et alii (op cit) como um pacote sedimentar marinho e continental, aflorantes principalmente nos grabens do Cachimbo e Serra Formosa, constituído por metarenitos, meta#rcóseo, ortoquartzitos, calcários, argilitos, chert, e folhelhos.

A idade relativa desta unidade segundo Schobbenhans et alii (op cit) é de [†] 1600 m.a, idade obtida com relação aos Sills e d Diques básicos denominados de Creporí, que cortam esta unidade.

O diabásio Creporí citado acima compreende Sills de rochas básicas toleíticas, que afetam as coberturas sedimentares proterozóicas do tipo Beneficiente, com idade radiométrica entre 1500 a 1600 m.a, e condicionamento geotectônico não bem definido.

Finalmente, jáno fanerozóico são encontrados recobri<u>n</u> do certas áreas, coberturas detrito lateríticas, de natureza ferruginosas, desenvolvidas localmente sobre certos interflúvios, com litologías e condições físicas e químicas favoráveis, e coberturas aluvionares desenvolvidas principalmente ao longo das calhas da drenagens pretéritas e atuais.



.../

- 05 -

5 - GEOLOGIA LOCAL

12

Durante os trabalhos de reconhecimento procurou-se '
individualizar as zonas de ocorrências das grandes unidades litoestratigráfi
cas descritas na bibliografía existente, as quais, com execeção do Complexo'
Xingu, foram perfeitamente evidenciadas através das inúmeras exposições exis
tentes a margem das rodovias récem-pavimentadas e nas vicinais percorridas.

No decorrer dos trabalhos de prospecção regional inú meros afloramentos foram descritos (anexo Ol), porém poucos esclarecedores 'quanto as relações de contato e demais feições estruturais, uma vez que frequentemente tratavam-se de blocos isolados comum nestas regiões com espesso' manto de alteração.

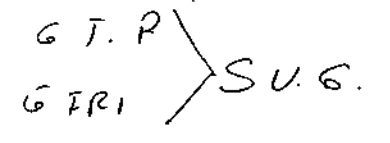
A sistematica utilizada nos trabalhos de detalhamento dos sub-alvos "Ax", "Ab", e "By", respectivamente anexos IX,X, XI, permitiu obter um melhor entendimento da geologia local, sendo descrito uma variedade de tipos petrográficos (anexo Ol) e relações de campo que nos permitiram montar uma coluna estratigráfica, procurando enquadrar as diferentes associações existentes, em conformidade com a bibliografia atual, para tal, perferimos utilizar a sucessão estratigráfica proposta por Schobbenhaus et alii (1984).

É oportuno lembrar que embora os trabalhos nesta eta pa de detalhamento tenha sido executados na escala 1:5.000, eles tiveram um direcionamento tático, procurando localizar a fonte das anomalias, de formas que faltam pontos suficientes para apresentar um mapa compátível com a escala, ainda maís que as fotografias aéreas e outras imagens existentes não auxiliam em nada trabalhos nesta escala.



COLUNA ESTRATIGRÁFICA PROPOSTA

ERA	I D A D E (Milhoes de anos)	UNIDADES L GRÁF	ITOESTRATI — ICAS	SIMBOLOS	LITOLOGIAS
F A N E . R		AL U VIÕES RECENTES		На	Sedimentos aluvionares, areias, argi— las e coscalhos.
0 z 0 1 C		Discordancia UNIDADE DETRITO LATERITICA		7 Q d l	Lateritas maturas associadas a can- gas ferruginosas.
	<u>+</u> 570	Discordancia			
	±1500	DIABÁSIO CREPORI		PEc	Sills e diques de diobásios e gabros.
- RÉ — CAMBRIANO MÉDIO	<u>+</u> 1600	Discordancia GRUPO BENEFICIENTE		PEb	Metarenito, metarcóscios ortoquartzi- tos , calcários, argilitos, chert efo- lhelhos.
A Superior	+	Discordancia SUPER	GRANITO TIPO MALOQUINHA	P€m	Ataskito , biotita granito, dioritos , granofiros, granodiorito .
•	+1800	GRUPO UATUMÃ	GRUPO IRIRI	PGI	Ríctitos, riodacítos, dacitos, tufos, ignimbritos, aglomerados, andesitos, bosaltos, arenitos, arcóseos, cherfe, argilítos, hornfels.
RÉ – CAMBRIANO	<u>+</u> 2600	COMPLEXO XINGU		PEz	Migmatitos, gnoisses, antibolitos gra- nodioritos, granulitos, rochas cata — closticas, etc.





A columa estratigráfica sugerida na Fig. 02 foi elaborada principalmente com os dados obtidos na área DNPM 866.211/82, conforme as feições litológicas e estruturais observadas. Segue abaixo a descrição 'das unidades litoestratigráficas.

5.1. Complexo Xingu

Não foi observado na região do Projeto afloramentos' que comprovadamente indiquem a existência deste complexo polimetamorfico.

5.2. Super Grupo Uatumã

Constituído de uma sequência vulcano-sedimentar plataformal, conhecida como Grupo Iriri, afetada por intrusões graníticas tipo Maloquinha e Serra dos Carajás.

5.2.1. Grupo Iriri

Compreende principalmente derrames vulcânicos os quais associam-se de piroclásticas, localmente está representado pelos se - guintes tipos petrográficos; andesitos, riolitos, basaltos, riodacitos, tu - fos, brechas e aglomerados vulcânicos, dentro da sequência vulcânica, com piroclásticas associadas e meta arenitos, quartzitos, metasiltitos, metaargi litos e cherts, relacionados as contribuições sedimentares.

As vulcânicas deste grupo apresentaram-se comumente com textura porfiríticas e estruturas de fluxo enqu**e**nto nos termos sedimen - tares é frequente tipos com acamadamento nítido, sedimentos rítmicos e níveis de cherts.

-07 -

A tectônica atuante na região parece ser de natureza epirogênica relacionada provavelmente aos sistemas de horts e grabens , que abriram espaço para a atividade vulcânica e a sedimentação correlativa.Local mente observa-se que esta sequência encontra-se basculada, mergulhando com 'ângulos de baixo grau, mostrando um padrão de dobramento descontínuo, provavelmente relacionado a reativação dos antigos falhamentos, gerando regionalmente lineações, e controlando o surgimento de altos e baixos estruturais e localmente pequenos falhamentos verticais de rejeito da ordem de centímetros.

Nas proximidades da estrutura circular que índica o contorno de intrusão granítica, provavelmente do tipo Maloquinha, os metasedimentos do Grupo Iriri encontra-se mergulhado normalmente com ângulos variando entre 30° e 60° e sentido contrário ao núcleo da intrusão, mostrando claramente a pertubação provocada pelo "Emplacement" do corpo granítico, inclusive com geração de hornfels, injeção de pegmatitos e veios quartzosos.

5.2.2. Granito Tipo Maloquinha

A ocorrência de rochas graníticas na área do Projeto é marcante, com variações petrográficas e associações das mais variadas, porém devido a falta de um controle de campo que efetivamente pude-se separar os diferentes tipos de granitos, optamos por agrupar todo o conjunto como granito tipo maloquinha, que segundo Schobbenhaus et alii (op cit) compreende os granitos sub-vulcânicos, cratogênicos, associados ao vulcanismo Uatumã.

- 08 -

Localmente as principais exposições observadas aparecem nos sub-alvos, onde este granito ocorre em áreas restritas e descontínas com cerca de 200 a 400 m², sempre apresentando hornfels, apesar de não ser frequente, em contato com um metarenito quartzoso, o que nos leva a supor que, principalmente no centro da estrutura circular, onde localizam-se os sub-alvos, este granito não teve ainda teto arrasado.

Outro aspecto importante é a presença de termos in trusivos intermediários como: dioritos, granodioritos, quartzo diorito e bio
tita granitos por vez com estrutura de fluxo mostrando expressiva assimila ção nas bordas da intrusão.

5.3. . Grupo Beneficiente

Na área do Projeto afloram principalmente na região' da Serra Formosa abrangendo porções das áreas 866.216/82, 866.217/82 e 866.218/82.

Na área 866.211/82 os metasedimentos aflorantes fo ram englobados como pertencentes a formação Iriri, devido a íntima associa ção com as vulcânicas e a ausência de discordância.

5.4. <u>Diabésio Creporí</u>

As frequentes exposições de rochas básicas faneríticas de textura ofítica, granulometria fina a grosseira, que cortam as litologias anteriores foram enquadradas como pertencentes ao giabásio greporí.

5.5. <u>Unidade Detrito Laterítica</u>

Constituem lateritos maturos desenvolvidos em áreas restritas condicionadas a determinadas litologias, e a condições físicas como: clima, temperatura, pluviometria e topografia, não sendo possível caracterzar se estavam relacionadas a uma superfície de peneplanização regional.

. . ./



- 09 -

.../

5.6. Aluviões Recentes

Constituem sedimentos aluvionares que ocorrem ao longo das calhas dos rios e córregos que drenam a área do Projeto.

6 - PROSPECÇÃO GEOQUÍMICA DE SEMI DETALHE

6.1. - SUMÁRIO

A partir dos dados geológicos disponíveis na folha Juruena (SC-21) do Projeto Radam e de um reconhecimento geológico preliminar da região foi planejado e efetuado esta primeira etapa de prospeçção geoquímica regional. Sendo selecionado como área modelo do projeto a DNPM 866.211/82.

Nesta etapa foram coletadas 92 amostras de sedimento de corrente, 81 amostras de concentrado de bateia e 47 amostras de rochas,
que resultou em uma malha geoquímica de 1,7 amostras/Km².

A sistemática da amostragem constituña coleta de 'amostras em pontos predeterminados das drenagens secundárias procurando nesta etapa preliminar detectar bacias anômalas, concomitante a um mapeamento (esboço) geológico, base para a interpretação dos resultados analíticos.

Informações adicionais sobre as características '
geológicas e ambientais em torno da estação de amostragem como; litologia ,
natureza e morfologia dos sedimentos, condições da agua e da bacia e outros'
dados foram condensados em uma ficha padrão, anexo - O2, que foi utilizada '
durante a interpretação dos dados, para caracterizar eventuais variações nas
condições da amostragem que pudessem resultar em falsas anomalias ou dispersões de alguns elementos medidos.

. . . /



•••/

6.2. Metodologia

6.2.1. De Amostragem

O plano de amostragem para a densidade predeterminada, através da coleta de sedimento ativo da corrente e concentrado de ba teia teve o seguinte procedimento;

A coleta das amostras de concentrado de bateia fo ram direcionadas para locais propícios a mineralizações, buscando atingir os
objetivos desta la etapa no tocante a constatação ou não de ouro.

Nesta amostragem procurou-se coletar principalmente' material psamítico (cascalho) buscando alcançar, se possível, o "8ed-Rock".O volume coletado para bateamento foi de 10 L, sendo o concentrado acondiciona do em sacos plásticos e trazidos para o laboratório da METAMAT, onde foram ' efetuadas análises mineralogicas.

Na coleta de amostras de sedimentos de corrente procurou-se homogenizar a técnica, através da coleta de sedimento ativos da
corrente em amostragem composta, evitando coletar em eventuais armadilhas '
geoquímicas. A nomenclatura utilizada na numeração das amostras foi a seguin
te:

<u>Código do Técnico</u>	Nº da Amostra	<u>Tipo</u>	<u>Natureza</u>
GD	021	0	Sedimento de Corrente
WF	010	1	Concentrado Bateia '
- LA .	002	2	Veio
₩R ·	025	3	Rocha
ШF	040	4	Solo

7

.../

COMPANHIA MATOGROSSENSE DE MINERAÇÃO

- 011-

As amostras foram coletadas em sacos de algodão e remetidos para a METAGO para análise de diversos elementos químicos, con - forme boletins de análise (anexas III e V).

As amostras de rochas foram coletadas nos afloramentos percorridos durante a prospecção.

6.2.2. - PROCESSOS ANALITICOS

Os concentrados de bateia obtidos em campo foram des tinados a análise mineralógica efetuada pelos técnicos da METAMAT no laboratório da empresa e constitui essencialmente na identificação, separação e pesagem das pintas de ouro porventura existentes na amostra, conforme estabela I, anexa.

Ressaltamos que, na tabela citada, a faixa l referese a pintas menores que 42 mesch, a faixa 2 no intervalo entre 42 - 60 ' mesch, a faixa 3 no intervalo 60 - 80 mesch e finalmente a faixa 4, destinada a amalgamação, à partículas maiores que 80 mesch. A amadgamação não foi efetuada pelos seguinte motivos; inexistência de um amalgamador pró prio, elevado custo para enviar as amostras para outro laboratório, e principalmente por que o objetivo principal da prospecção ou seja a delimita - ção dos alvos poderia ser conseguido apenas com a contagem de pintas.

Outro detalhe é quanto ao peso das pintas plotados '
na tabela I, obtido através da determinação de um fator de correção para '
cada faixa, fator este resultante da divisão do peso total das pintas de
determinada faixa pelo número de pintas respectivo, obtendo assim os segu<u>in</u>
tes valores; faixa 1 - 0,74 mg, faixa 2 - 0,21 mg, faixa 3 - 0,07 mg.

A analise mineralogica foi também efetuada visando a determinação do mineral cassiterita, através de teste por via umida com auxilio da placa de zinco, porém não foi constatado a presença de nenhum 'grão deste bem mineral nas amostras analisadas,

-, # +42.# -42 +60 # -60 + 80 # -80 Amolganololo



- 012-

As amostras de sedimento de corrente, foram analisadas nos laboratórios da METAGO, pelo médodo de absorção atômica, e ataque via água régia para os seguintes elementos; As, Au, Co, Cu, Fe, Mn, Ni, Pb, S, Th, Zn, e óxidos de titânio e wolframio.

6.3. - PROCEDIMENTOS ESTATISTICOS

. . ./

O adquado tratamento dos dados analíticos e a correta interpretação buscando estabelecer critérios sígnificativos na separação das verdadeiras ou falsas anomalias é o ápice de qualquer campanha de prospecção, pois, é sabido que o número de falsas anomalias é extremamente elevado, se comparando com as anomalias relacionadas a mineralizações, e mais elevado ainda se comparado com o número de depósitos associados.

Para minimizar os problemas relativos a análise e interpretação dos dados existe uma série de procedimentos estatísticos que variam em grau de complexidade e eficiencia. No caso dos resultados das analises dos sedimentos de corrente foi utilizado procedimentos simplificados e diferenciados para os diferentes elementos analisados, devido aos seguintes motivos;

- Ser uma campanha de natureza regional.
- Pequeno número de valores.
- Ambiente geologico pouco conhecido.
- Alguns elementos como; As, S, e W apresentarem some<u>n</u> te valores abaixo do limite de detecção.
- Elementos metalicos como, Cu, Co, Ni, Pb, e Zn apresentarem pequenas variações de teores.

Desta forma apresentamos separadamente os elementos em função da metodologia utilizada.

. . . /



- 013 -

.../

6.3.1 - SEDIMENTO DE CORRENTE

- <u>ouro</u>

Das 73 amostras analisadas para ouro por absorção atômica apenas 18 apresentaram-se com valores acima do limite de detecção '(0,10 ppm), e uma amplitude de valores entre 0,12 a 6,30 ppm, segundo a tabe la II, mostrando falta de homogeneidade na amostragem e consequentemente uma distribuição "anormal" dos valores, o que dificulta o tratamento pelo critério de "Sturges", mesmo procurando separar eventuais valores erraticos.Portanto preferimos utilizar um outro método da analise exploratória conhecido como diagrama de ramos e folhas, (de Tukey, 1977 in Quintanilha et al,1984) que forneceu os seguintes valores para o ouro;

Parametros Estatis	ticos (ppm)	Valores Considerac	ios (ppm):
Ji-junta inferior	- 0,15	Mediana	- 0,20
Js-junta superior	- 0,50	Back ground	- 0,12 a 0,50
Mediana	- 0,20	Anomalia 3ª ordem	- 0,50 a 1,25
d j ≉Js-Ji	- 0,35	Anom alia 2ª ordem	- 1,25 a 4,05
Lin. interno	- 1,25	Anomalia lª ordem	> 4,05
Lin. externo	- 4,05		
Xmax	- 6,3		
Xmin	- 0,12		

- Ferro, Manganes, Torio e Titanio

Estes elementos apresentaram-se com uma distribuição ¹ do tipo lognormal e foram tratados segundo o critério de Sturges, obtendo-se

/



- 014 -

.../

os seguintes parâmetros;

FERRO (%)

N - 72

 \overline{X} - 1,17

6 - 0,64

Xmax - 3,30

′xXmin - 0,52

Intervalos de Valores Considerados (%)

Back ground

<1,81

Anomalia de 2ª ordem -1,81 a 2,45

Anomalia de 1ª ordem> 2,45

MANGANES (ppm)

N - 70

X - 95

OT. - 44,03

Xmax - 225

Xmin - 40

Intervalos de Valores Considerados (ppm)

· Back ground

< 183,06

Anomalia de 2º ordem - 183,06 a 227,09

Anomalia de lª ordem > 227,09

TORIO (ppm)

N - 72

 \overline{X} - 18,82

O - 11,99

Xmax - 68

Xmin - 4

- Intervalos de Valores Considerados (ppm)

Back ground

< 42,80

Anomalia de 2ª ordem - 42,80 a 54,79

Anomalia de la ordem > 54,79

- - -/

.../

- 015 -

TITANIO (%)

N - 71

 $\bar{X} - 0,30$

V - 0,17

Xmax- 118

Intervalo de Valores Considerados (%)

Back ground

< 065

Anomalia de 2ª ordem - 065 a 0,81

Anomalia de la ordem 🌖 0,81

- Cobre, Cobalto e Niguel

Para estes elementos não foi possivel efetuar menhum tratamento estatistico satisfatório pois, a homogeneidade é significativa, 'conforme os parâmetros expostos a seguir;

COBRE (ppm)

N - 73

x - 8,22

0 - 7,18

Xmax - 55

Xmin - 5

OBS: 95,9% dos valores situam-se

entre 5 e 15 ppm, ressaltando 1

apenas 3 valores, ou seja;

GD - 011 = 20 ppm

WF - 005 = 55 ppm

WF - 011 = 35 ppm

COBALTO (ppm)

N - 73

 \overline{X} - 6,16

 $\sqrt{}$ - 3,92

Xmax - 30

Xmin - 5

OBS: 97,3% dos valores situam-se entre 5 ou 10 ppm, ressaltando'

apenas 2 valores, ou seja;

WF - 005 = 25 ppm

WF - 011 = 30 ppm

.../

- 016 -

NIQUEL

.../

N - - 73

 \overline{X} - 8,01

o - 5,15

Xmin - 5

Xmax - 40

OBS: 97,3% dos valores situam-se entre 5 e 1

15 ppm ressaltando apenas 2 valores ou

seja;

WF - 005 = 25 ppm

WF - Oll = 40 ppm

- Chum<u>bo</u> e Zinco

Para estes dois elementos foi efetuado tratamento pelo método de Sturges, porém, sem alcançar resultados apropriados, desta forma optamos pelo sistema gráfico de frequencia acumulada, obtendo os seguintes 'valores;

MÉTODO S	TURGES	MÉTODO	GRÁFICO
Chumbo (p	opm)	Chumbo	o (ppm)
N -	73	N	- 73
- -	18,97	ь	(média geometrica) = 7,4
<u>~</u>	14,45	τ	-(Threshold) = 64
Xmax -	85	b+S	(média + desvio) = 23
Xmin →	5	s'	(desvio peometrico)= 3.1

Valores Considerados para o Chumbo:

Anomalia 1º ordem > 64

Anomalia 2ª ordem - 23 a 64



- 017 -

MÉTODO STURGES ZINCO (ppm)		MÉTODO GRÁFICO ZINCO (ppm)			
N - 73	ħ	N	- 73		
		ь	- 7		
Ū - 12 , 92		Ţ	- 42		
Xmax - 80		b+S	- 17		
Xmin - 05		s'	- 2,4		

Valores Considerados para o Zinco:

Anomalia 19 ordem > 42 ppm

Anomalia 2ª ordem = 17 à 42

6.3.2. - CONCENTRADO DE BATEIA

Das 81 amostras analisadas para ouro, conforme tabela .

I, em anexo, apresentando o peso do ouro total por amostra, obteve-se o teor em mg/m³, relacionado na tabela II. A partir do qual por tratamento estatistico através do diagrama de Ramos e folhas, obteve-se os seguintes valores;

Parâmetros Es	tatisticos(mg/m³).	Valores Considerados (mg/m³)
Ji	- 14	Mediana - 21
Js,	- 5 6	Back ground 7 a 56
Mediana .	- 21	Anomalia 3º ordem - 56 a 119 Î
dj	- 42	Anomalia 2º ordem - 119 a 182
Lim. int.	- 119	Anomalia № ordem > 182
Lim. ext.	- 182	
Xmax ·	- 7	
Xmin	- 678	

- - -/



- 018 -

7. - AVALIAÇÃO DOS RESULTADOS

Em função das tabelas I e II e dos dados estatisti - cos obtidos através dos boletins de analises foram elaborados os mapas geo - químicos e definidos dois tipos de alvos; pontos de realce geoquímico e ba - cias anômalas, que em função dos parâmetros estabelecidos no texto e do contexto geologico foram priorizados distintamente, além disso, foram delimitados 3 sub-alvos, a partir da integração dos dados de campo e laboratório.

7.1. - SEDIMENTO DE CORRENTE

7.1.1. - METAIS BASE

Nas regiões tropicais umidas é comum encontramos aguas ricas em compostos húmicos, que possuem uma forte influência na dispersão dos elementos traços e menores, que, em condições de Ph e Eh favoráveis propriciam a precipitação de hidróxidos amorfos, principalmente de ferro, que absorvem os elementos calcófilos, favorecendo a formação de resíduos anômalos que, eventualmente podem conduzir a falsas anomalias.

Desta forma, acreditamos que, as principais anomalias para metais base detectadas nesta primeira etapa, por estarem associadas com anomalias de 1º grandeza para ferro e manganes, necessitam de uma checagem '"in locu" para verificar a fonte, caso das anomalias Al (Pb, Zn), A3 (Pb, Zn, Cu), A4 (Pb, Zn, Cu, Co, Ni), uma vez que não foi individualizado nestas regiões anomalas feições geologicas que justificassem tais valores.

A anomalia A2 (Pb, Zn) considerada a mais importante localiza-se sobre metasedimentos vulcanogênicos e não apresenta anomalia para ferro e/ou manganês sobreposta.

. . . .



.../

7.1.2. - <u>OURO</u>

Como é notório o ouro é um dos elementos que apresenta maiores problemas em campanhas de prospecção geoquímica, tanto na metodologés gia de amostragem utilizada, como na tecnica analitica.

Na região amostrada muito pouco se conhecia sobre este mineral, sendo no decorrer dos trabalhos constatadosa existencia de ocorrencias de natureza filoniana, amostra Aj - Ol6-3, e aluvionar, catras garim - peiras da Bacia do rio Jacaré.

Os resultados das análises para ouro em sedimento de corrente, com o objetivo principal de rastrear eventuais mineralizações primárias, teve um resultado satisfatório, uma vez que, a principal anomalia detectada, Al, esta provavelmente relacionada a tufos ácidos sulfetados.

A anomalia By de 20 ordem, também para concentrado de bateia, está relacionada provavelmente a rochas graníticas cizalhadas com 'veios de quartzo e pégmatitos simples associados, e sobreposta a uma anoma - lia de 10 ordem para ferro.

A anomalia Bl, de 2º ordem, provavelmente encontra -se em um contexto geologico semelhante a anomalia By.

7.1.3. - OUTROS ELEMENTOS

Quanto aos demais elementos analisados, alguns como eventuais indicadores, podemos concluir o seguinte:

- O arsênio não serve como farejador de ouro e metais¹ base na região.
- As anomalias de ferro e manganes apresentam express<u>i</u>
 va correlação com as principais anomalias de metais base.

/

- 019 -

- 020 -

.../

- O tório e o titânio não apresentam padrões de dis tribuição correlacionáveis a qualquer outro elemento.

- O wolfrâmio apresentou somente valores abaixo do limite de detecção, o que, corrobora com a não detecção do mineral cassiter<u>i</u> ta nos concentrados de bateia.

7.2. - CONCENTRADO DE BATEIA

A prospecção via bateia é um método consagrado de prospecção de ouro secundário, e nesta campanha foi importante na detecção 'de importantes alvos, como as anomalias "Xy" e "8y" cujas potencialidades 'devem ser verificadas durante o prosseguimento dos trabalhos.

Quanto a cassiterita, não foi encontrado nenhum grão deste mineral nos concentrados de bateia analisadas.

7.3. - CONCLUSÕES E RECOMENDAÇÕES

- A prospecção alcançou os objetivos propostos uma vez que foram selecionados importantes alvos, com o consequente descarte de grandes áreas estéreis.

- Nas principais anomalias para metais base necessitam ser efetuado "Follow up", uma vez que não foram individualizadas feições geologicas correlacionáveis.

- O arsênio não configurou como farejador para ouro e metais base.

. . . /



.../

A principal anômalia para ouro em sedimento de 'corrente "Al", provavelmente está relacionado a tufos ácidos sulfetados.

- Foram individualizados 3 sub-alvos "Ax", "Ab", "By" para uma campanha de mapeamento geológico sistematico na escala 1:25.000, associado a prospecção.

As anomalias de 2ª ordem para ouro"By" e"Bl" de →
 vem ser objeto de inspeções locais, visando detectar as fontes dos teores '
 anômalos.

8 - PROSPECÇÃO GEOQUÍMICA DE DETALHE

Esta etapa consistiu na execução dos trabalhos '
recomendados ao término da etapa anterior, sendo executado principalmente o
detalhamento dos sub-alvos "Ax", "Ab" e "By", com coleta de 13 amostras de
concentrado de bateia, 35 amostras de sedimento de corrente, 192 amostras '
de solo e 88 amostras de rocha, que foram enviadas para análises.

Os resultados estão sendo aguardados para serem '
processados e analisados a fim de definir a melhor maneira de dar continuidade ao projeto.

8.1. Sub-Alvo "Ax"

Localizado: na porção noroeste da área DNPM 866.211/82, conforme anexos VII e IX. Este sub-alvo foi definido sobre as amostras'GD-O11-0, GD-O12-O, e GD-O10-O, anômalas para chumbo e zinco e pela amostra AJ-O10-1 anômalas para ouro.

. . ./

- 021 -





;;; /

Durante o detalhamento constatou—se neste sub—alvo a predominância dos sedimentos vulcanogênicos do Grupo Iriri, principalmente , metarenitos quartzosos, silicificados com variações ritmicas e níveis de cherts associados.

8.2. - Sub-Alvo "Ab"

Localizado na porção noroeste da área 866.211/82 , anexo VII e X, com amostra anômalas por absorção atômica, para ouro, caso da amostra GD-O21-O, com 6,3 ppm, provavelmente relacionada com os tufos, ácidos aflorantes nas imediações.

Litologicamente constituido por afloramentos restri tos de granitos tipo maloquinha em contato com os meta-sedimentos vulcanogê nicos do Grupo Iriri, configurando um importante ambiente gerador de emana ções fluidas que, em condições favoráveis pode gerar importantes mineraliza ções neste contexto aparece como anômala a amostra AJ-013-3, que apresentou '
valores da ordem de 1.010 ppm para zinco e 905 ppm para chumbo e sulfetos de
cobre, conforme analise de seção polida (anexo IV).

8.3. - Sub-Alvo "By"

Localizado no centro da área 866.211/82, anexo VII e XI, apresenta Bacias anômalas para ouro em sedimento de corrente, amostra 'AJ-040-0 e concentrado de bateia, amostra GD-015-1.

Aflora neste sub-alvo principalmente rochas graniti - cas com variedades petrograficas e hornfels mostrendo alguma assimilação e provavelmente efeitos de ápice de intrusão, ainda com parte do teto encaixante preservado.

. . . /



.../

Na zona de interfluvio entre as 8acias anômalas By e Bl ocorre uma mancha com lateritas, relacionada a unidade detrito lateritica, que eventualmente pode ser a fonte das anômalas citadas.

9 - JUSTIFICATIVA PARA O PROSSEGUIMENTO DA PESQUISA

De acordo com os trabalhos desenvolvidos e apresenta dos neste relatório ficou patente a necessidade de dar continuidade a pesquisa em face aos resultados já alcançados e pelos dados esperados da fase de detalhamento, que estão sendo analisados. Portanto, solicitamos ao competente orgão, a prorrogação dos prazos dos Alvarás relativos as áreas do Projeto Colider pelo prazo de pelo menos mais dois anos, a fim de que esta empresa possa executar plenamente a pesquisa.

10 - BIBLIOGRAFIA

- l Damião, R. N. Prospecção geoquímica de ouro. Publicação Técnica, CPRM, Rio de Janeiro, V.1, M.1, 1985. 120.
- 2 Marques, J.M.M. Prospecção Geoquímica. Porto Alegre. Universidade Federal do Rio Grande do Sul. Edição D.A.E.C.
- 3 Quintanilha, J.A. et alii. Métodos Exploratórios de análise de dados geoquímicos. In Congresso Brasileiro de Geologia, 23 , 1984, Rio de Janeiro. Anais. Sociedade Brasileira de Geologia, 1984, V. 10 , p. 4864/76.
- 4 Schobbenhans, C,et alii. Texto explicativo do Mapa Geologico do Brasil. Brasilia, DNPM, 1984.

.../

5 - Silva, G.H. et alii Geologia In.. Brasil. Proje to Radam Brasil. Folha SC. 21 Juruena. Rio de Janeiro, DNPM, 1988 (Levantamen to de Recursos Naturais, >20).

6 - Turner e Verhoogen. Petrologia Ignea Y Metamórfica. 3 ed. Barcelona, Omega, 1978. 726, P. I. L.



ţ

11 - <u>ANEXOS</u>



TAB'ELA I

RESUMO DOS RESULTADOS ANALITICOS PARA OURO



TABELA I RESUMO DOS RESULTADOS ANALÍTICOS PARA OURO

PROCESSO: DNPM

		OU FRAÇ		SÍVEL A			OURO AMALGAMADO FRAÇÃO GRA	OURO-TO	TAL POR AMOSTR
Nº DA AMOSTRA	1	IXA — I	1				NULOMETRICA	,	T
,	<u> </u>	PESO(mg)	↓	FAIXA 2		E-AXI	FAIXA — 4		·
	114 - 114 1243	P230 (mg)	N* PINIAS	PESO(mg)	Nº PINTAS	 	PESO(mg)	Nº P! NTAS	PESO(mg)
GD - 001-1	-	<u> </u>	ļ <u>-</u>	-	-	-	*	-	-
GD - 002-1		-		-	-	-		→	-
GD 003-1	-		1	0,21	2 .	0,14		3.	0,35
GD - 004-1	-		1	0,21		-		1	0,21
GD - 005-1	٠ -		-	- -	_	→		- .	-
GD - 006-1	· –		-	-	-	ن -			_
GD - 007-1	-	-	1	0,21	· -	-		1	0,21
GD - 008-1		-		-				-	- -
GD - 009-1		· 	_	-	3	0,21		3	0,21
GD - 010-1			-	-	7	-		-	-
GD - 011-1	-		-		4	0,28		4	0,28
GD - 012-1	-	-	-1	-	-	- ,		-	· -
GD - 013-1	-	-	. 1	0,21	4	0,28		5	:0,49
GD - 014-1	_	-	-	-	-			-	
GD - 015-1	1	0,74	-		7	0,49		8	1,23
GD - 016-1	-	-	1	0,21	-	-		1	0,21
GD - 017-1	-	_	_	-	-	-		-	-
GD - 018-1	_	-		-	-			-	<u> </u>
GD - 019-1	_	-	-	-	-	-			- ,
GD - 020-1	-	-	-	-	1,	0,07		1	0,07
GD - 021-1		-	-	-	3	0,21		3	0,21
GD - 022-1	-	_	-		-		-	-	-
GD - 023-1	-	-	-	- 1	1	0,07		1	0,07
GD - 024-1	1	0,74	2	0,42	5	0,35		8	1,51
GD - 025-1	-	-	. , 2	0,42	3 .	0,21		5	0,63
GD - 026-1	-	-	, _	-	2	0,14		2	0,14
· GD - 027-1	-	-	-	-	2	0,14	-	2	0,14
					,				;



TABELA I RESUMO DOS RESULTADOS ANALÍTICOS PARA OURO

PROCESSO: DNPM

				ESSO: DI			OURO		
·i .	<u> </u>	00		SÍVEL A			AMALGAMADO	1	AL POR AMOSTRA
Nº DA AMOSTRA		THAÇAD GHANDEONETRICA					NULOMETRICA	•	• • •
	FA	I — AXI	FA	1XA 2	FAIXA-3		FAIXA — 4		'
	Nº PINTAS	PESO(mg)	Nº PINTAS	PESO(mg)	Nº PINTAS	PESO (mg)	PESO(mg)	N ^Q PINTAS	-PESO(mg)
AJ - 001-1	-	-	<u>'-</u>	<u>-</u>	-	-	,	-	-
AJ - 002-1	-	-		_	<u> </u>			_	- '
AJ - 003-1		<u>-</u>				-		<i>'</i>	· -
AJ - 004-1	<u> </u>	-		_	1	0,07		1	0,07
AJ - 005-1.		· -				-		• '-	<u>-</u>
AJ - 006-1				_	<u>-</u>			_	-
AJ - 007 - 1	1	074	-		5	0,35		, io	1,09
AJ - 008-1	-	_		-	<u>-</u>	-			-
AJ - 009-1		-	-	_	-	-		1	
AJ - 010-1	5	3,70	8	1,68	20	1,40		33	6 , 78
AJ - 011-1	1	0,74	5	1,05	2	0,14		в ,	1,93
AJ - 012-1	·-	_	2	0,42	2	0,14		4	0,56
AJ - 013-1	. 1	0,74	1.	0,21	6	0,42		8	1,37
AJ - 014-1	-			-]	_	-		-	-
AJ - 015-1	-	-	-	-	-	-		_	- , ·
AJ - 016-1	-	-		-	-	-			- ,
AJ - 017-1	-	-	-		_	-		-	-
AJ - 018-1	_	-	-	-	-	-		`	- ;
AJ - 019-1	-		-	-	<u> </u>	· - [<u>-</u> -	-
AJ - 020-1	-		-		-]	-		_	- ;
AJ - 021-1	-	-	-			-		-	- 7
AJ - 022-1		-	-	-	2	0,14		2	0,14
AJ - 023-1 ,	-			-	-	- ,		-	-
AJ - 024-1	-		-	-				-	
AJ - 025-1	-	-	71		-			-	
AJ - 026-1	-	-	<i>,</i> -	-	-			-	-
AJ - 027-1;	-	-	-	<u>-</u>	-	_			-
AJ 028-1	-]	- [<u>- </u>	-	- ;			-	



TABELA I RESUMO DOS RESULTADOS ANALÍTICOS PARA OURO

PROCESSO: DNPM

			PROC	ESSO: DI	NPM				Y
		OU		OURO AMALGAMADO FRAÇÃO GRA		TAL POR-AMOSTR			
Nº DA AMOSTRA	<u> </u>	. FRAÇÃO GRANULOMÉTRICA							
	FAIXA — I		ļ	FAIXA 2		FAIXA3			
<u>, </u>	Nº PINTAS	PESO(mg)		PESO(mg)	!	 -	PESO(mg)		
AJ - 029-1	-		j	0,21	2	0,14		3	0,35
AJ - 030-1	_	-	_	-	_		,	<u> </u>	-
				• • • • • • • • • • • • • • • • • • •		, ,			<u> </u>
						· · ·			
			م در ا	:	5,53 1		•		**
		,				·			
	F		•	•	•				
				,					
			j				·	,	
		,		· .					
									<u> </u>
								· · · · · · · · · · · · · · · · · · ·	
			•						<u> </u>
: 1			1			,		``	
		2					·		
	'						,,		
							.		
			1						
				. 1			· ·		
,		,		,					
								·	
i.,						•	 -		



	1	OU	RO VI	SÍVEL A	LUPA		OURO	<u> </u>		
,		FRAÇÃO GRANULOMÉTRICA					AMALGAMADO FRAÇÃO GRA	O GRA DURO TOTAL POR A		
Nº DA AMOSTRA		IXA — I	FA	AIXA—2 FA		IXA-3	NULOMETRICA FAIXA — 4		1	
	Nº PINTAS	PESO (mg)	nº Pintas	PESO(mg).	Nº PINTAS	PESO(mg)	PESO(mg)	Nº PINTAS	PESO(mg)	
WF-211-001-1	-	-	-	-	-	_	,	-		
WF-211-002-1	_:	_	-	-	-	_ · ,		-	<u>-</u> ·	
WF-211-003-1	- ;	, .	-	-				-	-	
WF-211-004-1	·	-	-	_	-	_		_	-	
ШF-211-005-1	_ *	-	-	-	<u>-</u>	_		- .	· -	
พร-211-006-1	*	1	. – •	-, `	-	-	•		-	
WF-211-007-1	-	1	-	-	-	-		_		
WF-211-008-1	-	-	-	-	-			_	~	
WF-211-009-1	-	-	-	<u> </u>	-	-		•	-	
WF-211-010-1	-	-	-	-		-		-	-	
WF-211-011-1	-	_		_	-	-		•	~	
WF-211-012-1	- :	+	-	-	-	-	ı	-	-	
WF-211-013-1	- ,	-		, <u>-</u>	-	-		-	-	
WF-211-014-1	-	-	_		-	-		-	- .	
WF-211-015-1	-	-				-		-	-	
. WF-211-016-1	- [-			-	-		_	- '	
WF-211-017-1	-	-		-	2	0,14		2	0,14	
WF-211-018-1	Não	foi	feito	concent	rado de	bateia			•	
WF-211-019-1	-	-		-		-				
WF-211-020-1	-				1	0,,07		1	0,07	
WF-211-021-1	-	-	-	-	_	<u>;</u> -			_	
WF-211-022-1	-		-	-	-	-	,	-	-	
WF-211-023-1	-		-	-	-	-	1	-		
WF-211-024-1	-	-			-	_		-	-	
WF-211-025-1	-	-		<u>' - </u>	-			-	-	
WF-211-026-1	-	-	_	-	-	- '		-	_	
						·				



TABELA II

Teores de Ouro em ppm e ${\rm mg/m}^3$



EM PPM E mg/m³

<u> </u>	PROCESSO		
NÚMERO DE ESTAÇÃO	SEDIMENTO CORRENTE PPM	CONCENTRADO DE BATEIA mg / m3	NÚMERO DE PINTAS
F-001-0/001-1	<0;10	_	-
F-002-0/002-1	<0,10 '.	- -	
WF-003-0/003-1	<0,10		<u>-</u> :
F-004-0/004-1	*		
WF-005-0/005-1	0,20		<u> </u>
F-006-0/006-1	. <0,10	<u>-</u>	-
MF-007-0/00 7- 1	<0,10	-	
∰F 708-0/008-1	<0,10	_	<u> </u>
F-009-0/009-1	<0,10		·
wF-010-0/010-1	*	•	
F-011-0/011-1	<0,10	- .	-
WF-012-0/012-1	<0,10	_	
F-013-0/013-1	*		
WF-014-0/014-1	. *		
	<0,10	_	- , ,
F-016-D/016-1	<0,10	-	
wF-017-0/017-1	<0,10	14	2
F 018-0	<0,10		
ωF-019-0/019-1	<0,10	·-:-	
F-020-0/020 - 1	<0,10	. 7	1 ,
WF-D21-0/021-1	<0,10	-	
F-022-0/022-1	<0,10	-	
WF-023-0/023-1	*	•,'	,
WF-024-0/024-1	· < _{0,10}	- :	
#F-025-0/025-1	< 0,10	-	-
WF-026-0/026-1	<0,10	- '	-
		1	
	. /	·	
<u> </u>			
I		i	
			<u> </u>



EM PPM E mg/m³

PROCESSO DNPM Nº:								
NÚMERO DE ESTAÇÃO		CONCENTRADO DE BATEIA	NÚMERO DE PINTAS					
	PPM	mg / m3	,					
GD-001-0/002-1	*	-	<u> </u>					
GD-001-1			<u>-</u>					
GD-002-0/003-1		35	3					
GD-003-0/004-1	-	21 .	· <u>1</u>					
GD-004-0/005-1	_	·						
3D-006-1								
GD-005-0/007-1		21	<u> </u>					
GD-006-0/008-1	<0.10		· · · · · · · · · · · · · · · · · · ·					
GD-007-0/009-1	0,18	21	3					
SD-008-0/010-1	< 0,10	-	<u></u>					
6D-009-0/011-1	0,14	28	4					
GD-010-0/012-1.:	< 0,10	-	<u> </u>					
SD-011-0/013-1	< 0,10 .	49	5					
GD-012-0/014-1	< 0,10	-	- .					
iD-013-0/015-1	3,25	. 123	8 7					
GD-014-0/016-1	*	21	1					
D-015-0/017-1	< 0,10	· _						
SD-016-0/018-1	< 0,10	-						
. GD-Õ17-O/O19-1	< 0,10	→ , ,						
D-018-0/020-1	*	7 ,	, 1					
GD-019-0 ;								
D-020-0/021-1	\ \ \ \ < 0.10	21	3					
GD-021-0/022-1	6,30	-	·;' -					
D-022-0/023-1	<0,10	7	; <u>1</u>					
€0-023 - 0/∪24-1	< 0,10	151	8					
GD-024-0	*		i					
D-025-0/025-1	< 0.10	. 63	5					
GD-026-0/026-1	< 0,10	. 14	. 2					
D-027-0/027 - 1	< 0,10	, 14	2					
	•	,						
1 : 2	l		_					
1	•							



EM PPM E mg/m³

PROCESSO DNPM Nº:

		DNPM Nº:	
NUMERO DE ESTAÇÃO	PPM	CONCENTRADO DE BATEIA	NÚMERO DE PINTAS
A U -001-0/001-1	*		, .
A - 002-0			
- AJ-003-0			, .
A -004-0/002-1	0,45	-	<u> </u>
AJ-005-0/003-1	*		. =
A -006-0/004-1	<.0,10	7	-
AJ-007-0/005-1	0,20		1
AU-008-0/006-1	<0,10	-	<u>-</u>
A-009-0/007-1	<0,10		· · · · · · · · · · · · · · · · · · ·
AJ-010-0/008-1	2,20	109	<u> </u>
A -011-0/009-1		<u>-</u>	<u> </u>
AJ-012-0/010-1	0,12 <0,10		
A -018-0/012-1	0,14	678	33 ·
A <u>J</u> -014-0/014-1	0,50	56	4
A-011-1	, 90		
A <u>1</u> -013-1	·	193	8
015-0	0,13	137	8
-016-0	<0,10		
13-017-0	<0,10		
-018-0/015-1			
J-019-0/016-1	<0,10		
-020-0/017-1	< 0,10	· · · · · · · · · · · · · · · · · · ·	
1- 021-0/018-1	<u> </u>	-	
-022-0/019-1	<0,10	<u> </u>	
-023-0	<0,10	<u> </u>	
-024-0	0,45		<u> </u>
-025-0/020-1			i .
-026-0/021-i			
-027-0/022-1	0,28	.,	
	<0,10	' 14	2
J-028-0/023-i	< 0,10		
0-029-0/030-1 1-030-0/024-1	< 0,10		
h-d-n-n/ n54-1	< 0,10		-



EM PPM E mg/m³

PROCESSO DNPM Nº:

PROCESSO DNPM Nº:							
NÚMERO DE ESTAÇÃO	SEDIMENTO CORRENTE	CONCENTRADO DE BATEIA	NÚMERO DE PINTAS				
PW-031-0/025-1	PPM < 0,10	mg / m3					
A=-032-0/026-1	<0,10						
AJ-033-0/027-1	<0,10		1 -				
FB-034-0/028-1	<0,10	_					
	<0,10						
AJ-035-0	0,15						
AJ-036-0 AJ-037-0	<0,10	· .	Party.				
A- 338-0/029-1	0,16	35	3				
₽ = -039-0	0,12						
AJ-040-0	1,45						
		,					
1		,					
	•						
		,					
			· · · · · · · · · · · · · · · · · · ·				
	,		40.				
·							
	<u> </u>						
		·					
		*;					
	,	<u>:</u>					
<u> </u>	,						
			•				
<u> </u>			~				
<u> </u>							
· · · · · · · · · · · · · · · · · · ·		,					
		<u>'</u>					
	<u> </u>	<u> </u>					

ANEXO 1

DESCRIÇÃO DAS ROCHAS



DESCRIÇÃO DE ROCHAS

AJ - 001 - 3 - Pequeno afloramento, a beira da rodovia MT 214., de blocos de chert, de cor branca.

AJ - 802 - 3 - Rocha de coloração escura, com ripas de plagioclá sio, piroxênio, gramulometria média a fina, estrutura maciça. Provavelmente um diabásio e encontra bastante alterada. Próximo a essa rocha afloram granitos grosseiros de coloração avermelhada.

AJ - 003 - 3 - Rocha de coloração escura, estrutura maciça, granulação média a fina. Ela ocorre próximo a rochas graniticas grosseiras com fraturamento $N55\overline{M}$.

AJ - 004 - 3 - Rocha de coloração rósea, média a grosseira, com¹ cristais variando de [±] 0,5 cm, estrutura maciça, composta basicamente de feldspato potássico, quartzo, biotita e plagioclásio. Granito.

AJ - 805 - 3 - Rocha de coloração rosada, granulação fina, silicificada, com acamamento a plano paralelo, composta basicamente de quartzo e secundariamente feldspato. Provavelmente um quartzito. No afloramento encontra-se níveis bem mais silicificados.

AJ – 006 – 3 – Rocha de coloração rosada, granulação fina, estrutura maciça, alterada, bastante friavel composta basicamente de quartzo e secundariamente feldspato. Quartzito.

AJ - 007 - 3 - Rocha de coloração rósea, granulometria média a grosseira composta de quartzo, feldspato, biotita e plagioclásio. Ela ocorre como um xenólito na rocha AJ - 008 - 3.



.../

- AJ 008 3 Rocha de coloração escura, granulometria fina, estrutura maciça, apresentando-se bastante alterada, composta de feldspato e quartzo. Provavelmente um diabásico.
- AJ 009 3 Rocha de coloração cinza, granulometria fina, es trutura maciça, composta basicamente de quartzo. Provavelmente um quartzito.
- AJ 010 3 Rocha de coloração avermelhada, granulação grosse \underline{i} ra, estrutura maciça. Composta por quartzo, feldspato potássico, plagioclásio e máficos. Granito.
 - AJ Oll 3 Idem a amostra anterior.
- AJ 012 3 Rocha de coloração cinza, granulometria fina e estrutura maciça, destaca-se fenocristais de feldspato e quartzo na matriz fina. Provavelmente um tufo de cristal.
- AJ 013 3 Rocha de coloração esverdeada, granulação fina e ' estrutura maciça, bastante alterada, composta de feldspato e quartzo.. Esta rocha contém Box-work de sulfeto (calcopirita). Provavelmente é uma rocha ' básica.
- AJ 014 3 Rocha de coloração rósea, granulação grosseira, es trutura maciça, composta por quartzo, feldspato potássico, plagioclásio e máficos. Granito.
- AJ Ol5 3 Rocha de coloração avermelhada, granulação grosse<u>i</u> ra, estrutura maciça, composta por quartzo, feldspato potássico, plagioclásio e máficos. Granito.
- AJ 016 3 Veio de quartzo de cor branca apresentando agregados de opacos que consiste de esfarelita, calcopirita, pirita e galena.

---/

.../

AJ - 017 - 3 - Rocha de coloração cinza avermelhada, granulação' grosseira, estrutura maciça, composto por quartzo, feldspato, plagioclásio' e subordinadamente alguns máficos. Granito.

AJ - 018 - 3 - Rocha de coloração cinza roseada, granulação grosseira, composto por mica, quartzo, feldspato, plagiclásio. Os minerais mi - cáceos em certos pontos do afloramento, apresentam-se [±] orientados, dando ' um aspecto de foliação. Granito enriquecido em minerais micáceos, representando borda de intrusão.

AJ - 019 - 3 - Rocha de coloração escura, granulação fina com 'alguns fenocristais de plagioclásio, apresentando algumas pintas de sulfe tos, provavelmente pirita e calcopirita. Provavelmente é uma rocha básica.

AJ - 020 - 3 - Rocha de coloração cinza avermelhado, granulação o grosseira, estrutura maciça, composto por quartzo, feldspato, plagioclásio e subordinadamente máficos. Granito.

AJ - O21 - 3 - Rocha de coloração cinza roseado, granulação mé - dia a fina, estrutura maciça, composta por quartzo, feldspato, mica e pla - qioclásio. Granito.

AJ - 022. - 3 - Rocha de coloração escura esverdeada, granulação¹ fina, estrutura maciça, composta por quartzo, plagioclásio e algumas pintas de sulfetos. Provavelmente é uma rocha básica.

AJ - 023 - 3 - Rocha de colóração esverdeada, granulação fina , estrutura maciça. Devido a granulometria é impossível a identificação dos minerais. Provavelmente um hornfels oriundo de um meta sedimento.

. . . /



.../

AJ - 824 - 3 - Rocha de coloração avermelhada, granulação gros--seira, estrutura maciça, alterada, composta por feldspato potássico, quar -tzo, plagioclásico e subordinadamente minerais máficos. Granito.

AJ - 025 - 3 - Rocha de coloração escura esverdeada, granulação' fina, em contato com uma rocha avermelhada grosseira, composta de quartzo , feldspato e plagioclásio. Provavelmente já um granito e hornfels oriundo ' de um meta sedimento pela intrusão do granito.

AJ - 026 - 3 - Ròcha de coloração escura, granulometria fina,estrutura maciça. Provavelmențe é um hornfels.

AJ - 027 - 3 - Rocha de coloração esbranquiçada, granulometria 'fina, bastanté silicificada com veios pegmatiticos simples; Quartzito.

AJ - 028 - 3 - Rocha de coloração verde clara a amarelada, estrutura fluidal, composta por uma matriz fina de quartzo e muscovita. Em cer - tas porções observa-se a presença de estrutura circulares preenchidos por quartzo. Tufo ácido, com a seguinte atitude N55E/ 43 SE.

AJ - 029 - 3 - Contato de um granito com quartzito. O granito 'tem cor avermelhada, granulação média, estrutura maciça composto por quar -tzo, feldspato e plagioclásio. O quartzito apresenta-se com cor cinza amare lado, bastante silicificado, composto basicamente por quartzo.

AJ — 030 — 3 — Rocha de coloração escura acizentada, de granulação bastante fina, apresentando níveis milimétricos de deposição química?Pode ser uma vulcânica sedimentar ou uma rocha piroclástica.

AJ - 031 - 3 - Rocha de coloração avermelhada, granulometria 'grosseira composta por feldspato potássico principalmente, quartzo, plagio-clásio e máficos. Granito.



...∤

AJ - 032 - 3 - Rocha de coloração clara, esverdeada, granulometria fina, alterada,composta por quartzo e feldspato. Provavelmente é uma rocha básica.

AJ – 033 – 3 – Rocha de coloração escura, esverdeada, granulom<u>e</u> tria fina, estrutura maciça de difícil identificação dos minerais a olho nú. Provavelmente é uma rocha básica extrusiva.

AJ - 034 - 3 - Rocha de coloração clara, amarelada, granulome - tria fina, bastante alterada, arqilosa. Provavelmențe é um vidro vulcânico.

AJ - 035 - 3 - Rocha de coloração clara, marrom amarelada, granulometria fina, bastante alterada, argilosa. Provavelmente é um metapelito.

AJ - 036 - 3 - Rocha de coloração clara, granulação fina a mé - dia, aparentemente bandadas, composto por quartzo e feldspato. Provavelmente é um granito.

AJ - 037 - 3 - Rocha de coloração esverdeada, granulometria bem fina, bastante alterada, provavelmente um metabasito.

AJ – D38 – 3 – Rocha de coloração escura acizentada, de granul<u>a</u> ção bastante fina, apresentando níveis milimétricos de deposição química? ' Provavelmente é uma rocha piroclástica ou vulcânica sedimentar.

AJ - 039 - 3 - Este ponto amostrado, numa área de aproximadame \underline{n} te $500m^2$, foi encontrado quatro tipos litológicos distintos.

1º) - Rocha de coloração clara, compacta, granulometria grosseira, composto por quartzo e hornblenda, possivelmente um granodiorito.

20) – Rocha de coloração clara acizentada, estrutura maciça, 'granulometria média, composta por quartzo, feldspato, plagioclásio e máfi –cos. Provavelmente é um granito.



.../

- 30) Rocha de coloração escura, granulometria média, estrutura ma ciça, composta basicamente por ripas de plagioclásio e quartzo. Provavelmen te é uma rocha gabróica.
- 40) Rocha de coloração escura, granulometria bastante fina impos sível de determinar algum mineral a olho nú. Pela cor e granulometria nos parece rocha básica extrusiva.
- AJ 040 3 Rocha de coloração avermelhada, granulometria fina, bastante alterada com alguns fenocristais de quartzo. Riolito.
- AJ 041 3 Rocha de coloração escura, granulometria bastante fina, apresentando uma fina camada: de alteração. Provavelmente é uma rocha basáltica.
- AJ 042 3 Rocha de coloração clara, com níveis avermelhados e pretos, granulometria grosseira, composta por quartzo, hormblenda,feldspato potássico. Possivelmente é um granodiorita.
 - AJ 043 3 Idem a amostra n^Q AJ 042 3.
 - AJ 044 3 Idem a amostra nº AJ 041 3.
- WR − 001 − 3 − Rocha de coloração avermelhada, granulação fina e estrutura maciça. Os feldspatos se encontram bastantes alterados e grande ' presença de óxido de ferro preenchendo as fraturas secundárias. Metarenito.
- WR 802 3 Rocha de coloração avermelhada, granulação gros seira e estrutura maciça. Observa-se que sua composição mineralógica predominante é o feldspato e quartzo com os demais minerais subordinados.Granito.



.../

WR - 003 - 3 - Rocha de coloração rosada, granulação fina, estrutura maciça, alterada, bastante friável, composta basicamente de quartzo e secundariamente feldspato. Arenito.

WR - 004 - 3 - Rocha de coloração rosada, granulação fina, estrutura maciça, composta basicamente de quartzo e secundariamente feldspato. σ⁴
Arenito.

WR - 805 - 3 - Rocha de coloração rosada, granulação fina, estrutura maciça, composta basicamente de quartzo e secundariamente feldspato. Are nito.

WR - 806 - 3 - Rocha de coloração rosada, granulação fina, estrutura maciça, composta basicamente de quartzo, feldspato e máficos (óxido de ferro). Arenito.

WR - 007 - 3 - Rocha de coloração avermelhada, granulação média e estrutura maciça. Observa-se que sua composição mineralogica predominante é o felespato e quartzo com os demais minerais subordinados. Granito.

WR − 008 − 3 − Rocha de coloração escura, granulação média e est⇒ trutura maciça, composição mineralógica feldspato, anfibólio e/ou piroxênio¹ e secundariamente presença de sulfetos disseminados. Leucogabo?

WR − 009 − 3 − Rocha de coloração escura, granulação média e es − trutura maciça.Composta basicamente de feldspato, piroxênio e/ou anfibolio . Diabásio?

WR - 010 - 3 - Laterita.

WR - Oll - 3 - Rocha de coloração avermelhada com alguns níveis '
de tonalidade escura. A parte avermelhada é composta de quartzo, feldspato ,
plagioclásio e outros (granito?); a parte escura presencia uma granulação fi
na de composição básica. O contato em campo não foi possível determinar pela
ocorrencia restrita do afloramento.

.../

WR - 012 - 3 - Rocha de coloração cinza claro, granulação média ' e estrutura maciça. Composta basicamente de quartzo, feldspato, opacos e grande quantidade de sulfetos disseminados. Granodiorito?

WR − 013 − 3 − Rocha de coloração escura, granulação fina e estr<u>u</u> tura maciça. Vulcânica básica?

₩R - 015 - 3 - Rocha de coloração avermelhada, granulação média ' é estrutura maciça. Composta de quartzo, feldspato, plagioclásio e micas. Os feldspato se encontram bastante alterados. Granito.

WR − 016 − 3 − Rocha de coloração avermelhada, granulação fina e estrutura tipo plano paralela (acamadamento). Metapelito.

WR - 017 - 3 - Idem a amostra WR - 016 - 3.

WR → 018 − 3 − Rocha de coloração amarelada, granulação fina e estrutura bastante bandada. Metasedimento.

WR - 019 - 3 - Rocha de coloração escura, granulação fina e estrutura maciça. Vulcânica básica?

WR - 020 - 3 → Rocha de coloração rósea, granulação média e estr<u>u</u> tura maciça. Tufo.

WR − 021 − 3 − Rocha de coloração esverdeada, granulação fina e estrutura maciça. Vulcânica básica?

WR ~ 022 - 3 - Rocha de coloração escura, granulometria fina e estrutura maciça. Rocha básica?

WR − 023 − 3 − Rocha de coloração acinzentada, granulação fina, ' alterada, principalmente as ripas de plagioclásio.



.../

WR − 024 − 3 − Rocha de cor cinza, granulometria fina com alguns'
porfiros e estrutura maciça. Hornfels com alguns profiros e estrutura maciça
Hornfels com porfirosblastos?

WR - 025 - 3 - Rocha de coloração escura, granulometria média a fina e estrutura maciça com sulfatos disseminados. Rocha básica?

WR − 026− 3 − Rocha de coloração amarelada, granulometria média e estrutura maciça..Composta principalmente de quartzo e feldspato. Tufo.

WR - 027 - 3 → Rocha de coloração amarelada e granulometria fina.A amostra se encontra bastante alterada, principalmente as ripas de plagioclásio.

WR - 028 - 3 - Rocha de coloração avermelhada, granulação grosseira e estrutura maciça. Composta principalmente de feldspato (com algumas alterações) e quartzo. Granito.

WR → O29 − 3 − Rocha de coloração avermelhada, granulometria fina e estrutura fina e estrutura maciça. Metasedimento.

WR - 030 - 3 - Idem a amostra WR - 028 - 3.

WR − 031 − Rocha de coloração avermelhada, granulometria média e estrutura maciça. Granito.

₩R - 032 - Rocha de coloração amarelada, granulometria grosseira a média e estrutura maciça. Os feldspato se encontram bem alterados. Granito.

WR - 033.- 3 - Rocha de coloração esbranquiçada provocada pela grande alteração do feldspato (candinização). Granito.

.../

WR - 034 - 3 - Exposição de rochas graniticas e andesiticas

WR → 035 − 3 → (Metabasitos) notando situações em que intru-

sivos encaixantes se envertem, porém outro '

afloramento nota-se que o mâgmatismo. ácido

WR - 037 - 3 - foi posterior.

WR - 036 - 3 -

WR - 038 - 3 - Rocha de coloração escura, granulação média e estrutura maciça com epidotos bem desenvolvidos.

₩R - 039 - 3 - Rocha de coloração amerelada, granulometria média e estrutura maciça. Composta principalmente de quartzo e feldspato. Tufo.

WF - .001 - 3 - Rocha de coloração branca amarelada, granulome tria fina, argilosa, apresentando fraturas em amostra de mão. Possivelme<u>n</u> mente esta rocha. seja um tufo de cristal bastante alterado.

WF - 002 - 3 - Rocha de coloração cinza arroxeada, granulome - tria fina, apresentando níveis milimétricos de acomodamento. Provavelmente é um metapelito.

WF - 003 - 3 - Rocha de coloração clara, rósea, granulometria¹ média a gosseira, estrutura maciça, composta basicamente por quartzo , feldepato e opacos granito.

WF - 004 - 3 - Concreção laterítica, de côr marom amarelada , com bastante grão de quartzo e concreções ferruginosasa.

WF - 005 - 3 - Rocha de coloração clara, aparentemente verde clara, compacta, composta basicamente por quartzo, bastante silicificada. Quartzito.

WF. 006 - 3 - Idem a amostra WF - 005 -3

---/

.../

WF − 007 − 3 − Rocha de coloração rósea, granulometria fina ¹ composta por quartzo e feldspato, com níveis de minerais opacos. Provavel mente é um quartzito bandado.

WF − 008 − 3 − Rocha de coloração bordô, granulometria bastante fina, com níveis de acamodamento. Metapelito.

WF − 009 − 3 − Rocha de coloração clara, granulometria bastante¹ fina, composta basicamente por quartzo, bastante silicificada. Quartzito.

WF - 010 - 3 - Rocha de cor rósea, granulometria fina, composta por quartzo e feldspato. Quartzito.

WF - Oll - 3 - Idem a amostra <math>WF - OlO - 3.

WF - 012 - 3 - Idem a amostra <math>WF - 010 - 3.

WF - Ol3 - 3 - Rocha de coloração avermelhada, granulometria media e estrutura maciça. Composta basicamente por quartzo, feldspato e opacos. Granodiorito ? .

WF - 014 - 3 - Rocha de coloração acinzentada, granulometria fina e estrutura maciça. Metavulcânica básica?

WF - 015 - 3 - Rocha de coloração clara, granulometria fina, argilosa, bastante alterada (caulinização). De difícil determinação a olho nú.

WF - 016 - 3 - Idem a amostra <math>WF - 010 - 3.

WF - Ol7 - 3 - Rocha de cor marrom amarelada, composta por quartzo, feldspato, parcialmente laterizado. Aglomerado ?

. . . /

... /

WF - 018 - 3 - Rocha de cor rósea, granulometia fina, compacta, composta basicamente por quartzo, bastante silicificada. Quartzito.

WF - 019 - 3 - Idem a amostra WF - 010 - 3.

₩F - 020 - 3 - Rocha de cor branca, composta por quartzo. Provavelmente um Chert.

₩F - D21 - 3 - Rocha de coloração clara, com pontos escuros e brancos, granulometria média a grosseira, composta por quartzo, anfibolio. e feldspato. Possivelmente em granodiorito.

WF - 022 - 3 - Laterita.

ωF - O23 - 3 - Rocha de cor branca, com níveis de alteração amarelados, granulometria bastante fina, composto basicamente pro quartzo e feldspato. Tufo ?

WF - 024 - 3 - Rocha de coloração esbranquiçada, granulometria média a fina. Possivelmente um silexito.

WF − 025 − 3 − Rocha de cor avermelhada, granulometria fina, **
estrutura maciça, cortado por veios de quartzo. Possivelmente um
quartzito.

.../

- GD OOl 3 A amostra representa o contato entre duas litolo qias:
- lº) Rocha de coloração clara, estrutura maciça, granulação grosseira composta basicamente de quartzo e feldapato. Granito.
- 2º) Rocha de coloração avermelhada com níveis escuro, granula ção grosseira, estrutura maciça, composta por hormblenda, quartzo e feldspato. Granodiorito.
- GD 002 3 Rocha de coloração avermelhada, com granulação fina e estrutura maciça. A olho nú observamos fenocristais de quartzo e feldspato que se destaca na matriz fina. Riolito.
- GD 003 3 Rocha de coloração escura, granulometria fina e estrutura maciça. Provavelmente é uma rocha vulcânica básica.
- GD 004 3 Rocha de coloração rósea, granulação grosseira e estrutura maciça, composta por feldspato, anfibólio opacos e quartzo.Quartzo Diorito.
- GD 005 3 Rocha de coloração escura, granulação fina e estrutura maciça. Composta por quartzo, feldspato e opacos com certeza é uma rocha básica, possivelmente um diabósio, dado a granulometria fina da rocha.
- GD 006 3 Rocha de coloração avermelhada, granulometria fi na, estrutura maciça, composta basicamente por quartzo. Metarenito.
- GD 007 3 Rocha de cor cinza, granulometria fina e estrutu ră maciça, composta basicamente por quartzo. Metarenito quartzoso.
- GD 008 3 Rocha de coloração avermelhada, granulação gros seira composta por quartzo e feldspato potássico e cortada por veios de quartzo centimétricos. Granito.

_ _ _ .

:../

GD - 009 - 3 - Rocha de coloração amarelada, granulometria fina e estrutura fluidal, Composta por uma matriz fina de quartzo e muscovita provavelmente vidro desvitrificado que se orientam segundo prováveis linhas de fluxo, de onde sobressaem fenocristais de quartzo, feldsparo e fragmentos de rocha vulcânica ácida. Tufo Àcido.

GD - 010 - 3 - Rocha de côr rósea, granulometria fina, com fra turas conchoidais verificados rm amostra de mão. Devido ao tamanho dos grãos não foi possível identificar os minerais, contudo a rocha tem a aparencia de um metapelito.

GD - Oll - 3 - A amostra descrita representa o contato entre duas litologias distintas, sendo que uma apresenta coloração avermelhada e granulação grossa, estrutura maciça composta basicamente por feldsparo, anfibólio e quatzo. È um quartzo Diorito. A outra rocha exibe côr escura, granulometria bastante fina, com fenocristais de feldspato. Possivel mente é uma rocha vulcânica de composição andesítica.



A N E X 0 02

. Modelo da Folha de Descrição de Estação de Amostragem



The state of the

FICHA PARA AMOSTRAGEM GEOQUÍMICA

PROJE TO	o:_COLIDE	3	<i></i>					
LOCAL	JOÃO BAIA	WO					TA 26	10 / 85
NÚMERO	DA AMOSTE	RA 2 1	السا	COLETOR.	0 1 0 1 Núme	2	1. TIPO	
CLASSE	5010	VEGE TAÇÃO	MATERIAL AMOSTRADO	NATUREZA DA DRENAGEM	TOPO GRAFIA	NATUREZA DA Margem	CARACTERÍSTICA	DA DRENAGEM
1		X	X				LARGURA (m1s)	6,0
2						x	PROFUNDIDADE (
3	×			<u>(</u>	X	X	PH	ربي س
4				X			<u></u>	· · · · · · · · · · · · · · · · · · ·
,				mbra de u			00_metros_c	la barra.
			. o D					<u>.</u>
		(; 0 0		ETAÇÃO:			
SOLO:	[] [2] [3]	SAIBRO ALUVIAL LATOSSOLO LATERÍTICO		, ,		1 MATA 2 CAMPO 3 PASTA 4 CULTI	GEM	
MATERIAL	AMOSTRA	po:		NATL	IREZA DA C			•
	[2] 3 [4	CASCALHO ÁREIA SILTE ARGILA				SEGO ESTAG MODE A RAPID	SNADO RADO	
TOPOGRA	FIA:			NAT	UREZA DA		-	
	2 3	PLANO SUAVE MODERADA INGREME	ı			2 colu	เงเลือ	
obs: A re	ferida g	rota acom rredeira	panha as acima cit	cristas d ada é cor	<u>tada por</u>	ito que s rochas g	e sobressa: µ <u>artzítica</u> :	∍•



ANEXO 03

BOLETINS DE ANALISES QUÍMICAS

METAIS DE GOIÁS S/A.-METAGO

BR-153 Km 2 -FONE 261-33-00-TELEX 0622340-GOIANIA-GO

3653 /86

Bole	tim de	Análise	
N5_	49173		$\frac{1}{2}$

	TIPO AMOSTRA _SEDIMENTO DE CORRENTE
MINERAÇÃO (METAMAT)	PREPARAÇÃO PULVERIZAÇÃO
LOCAL	ATAQUE ÁGUA RÉGIA
GEOL. ANTONIO J. P. DE BARROS	

							· · · · · · · · · · · · · · · · · · ·		
No	Nº DA AMOSTRA	As	Au	Co	·Cu_	Fe	Mn	Ni	.)
LABORATÓRIO	N. DK AMOSIKA	ффи	ppm	ppm 	· ppm	. g	ppm	mgg	
25384 P	AJ- 004-0	< 10	0,45	5	5	0,90	95	5	
25385 F	006–0	< 10	< 0,10	5	. 5	1,62	75	. 5	
25386 F	007-0	< 10	0,20	5	5	0,68	90	5	
25387 F	008_0	< 10	<.0,10	<u>5</u>	5	0,69	45	5	
25388 F	009-0	< 10	< 0,10	5	5	0,66	120	.5	
25389 F	010-0	< 10	2,20	5	5	0,84	45	5	
25390 P	011-0	< 10	0,12	5	. 5	0,70	125	5	
25391 F	012-0	< 10	< 0,10	_5	5	0,68	80	5	
25392 F	013-0	< 10	0,14	5	5	0,84	155	5	
25393 P	014-0	< 10	0,50	5	5	0,76	75	10	
25394 P	015-0	< 10	0,13	10	· <u>10</u> _	1,78	45	10	
25395 P	016-0	< 10	< 0,10	5	5	0,94	45	5	<u> </u>
25396 P	017-0	< 10	< 0,10	10	15	0,72	70	10	<u> </u>
25397 P	018-0	< 10	< 0,10	5	5	0,93	75	. 5	
25398 P	019-0	< 10	< 0,10	5	. 5	0,95	80	5	<u> </u>
25399 P	020-0	< 10	<<0,10	5	10	0,77	50	5	<u> </u>
25400 P	021-0	< 10	< 0,10	5	5	0,98	75 .	5	
25401 P	022-0	k 10	< 0,10	5	10	1,02	90	10	
25402 P	023-0	k 10	0,45	5	5	0,91	75	_ 5	<u> </u>
25403 P	026-0	^k 10	0,28	5	_5	0,66	60	5	_
25404 P	027-0	k 10	< 0,10	5	5	0,80	180	5	<u> </u>
25405 P	·	k 10	< 0,10	5	10	1,75	355	10	<u> </u>
25406 P	029-0	k 10	< 0,10	5	10	0,84	50	10	<u> </u>
25407 P	030-0	< 10	< 0,10	5	5	0,77	70	5	<u> </u>
25408 P	031-0	< 10	< 0,10	5	5	0,74	50	5	
25409 P	032-0	× 10	< 0,10	5	5	0,90	70	5	<u> </u>
25410 P	033-0	10	< 0,10	5	5	0,62	50	5	_
25411 P	034-0	10	< 0,10	5	5	0,98	70	5	
25412 P	035-0	10	< 0,10	5	5	0,65	80	5	<u> </u>
25413 P	036-0	10	0,15	5	15	1,98	65	10	

PEDIDO DE 03/DETEC/86	Ì
Nº AMOSTRAS: 73	l

CAIXA _____.

GOIANIA 07 04 86 CUINIGO HESPONSAVEL

METAIS DE GOIÁS S/A.-METAGO

BP-153 Km 2 - FONE 261-33-00-TELEX 0622340-GOIANIA GO

3653,/86

Boletim de Análise № 49173

INTERESTADO	COMPANIIA MATOGROSSENSE DE	FILIO AMOSTHA	SEDIMENTO DE CORRENTE:
	MINERAÇÃO (METAMAT)	INEPAHAÇÃO .	PULVERIZAÇÃO
LOGAL	- .	ATAGNE	ÁGUA RÉGIA
RESP	GEOL. ANTONIO J. P. DE BARROS	M ANALÍTICO.	ABSORÇÃO ATÔMICA
			·

			.		,			_
	Pb	s	Th	TiO2	₩0,3 -	Zn		}
NY DA AMOSTRA	ppm	9	ррт	0,0	ppm	ppm	•	
AJ-037-0	15	< 0,05	10	0,13	< 100	5 _		
	15	< 0,05	13	0,22	< 100	5		<u> </u>
•	20	< 0,05	9		ł- 	5		
	15	< 0,05	9	0,27	< 100	5		
					<	<u> </u>		
GD-006-0	20	< 0.05	12	0,26	< 100_	15		
•	20			1		20		
	15	<_0,05	15	0,22	< 100	10	·	
	20			0,30	< 100	15	ļ	
010-0	25.	< 0.05	5	0,30	< 100	15		
011-0	65	< 0,05	7			55	<u> </u>	
012-0	45	< 0,05	99				<u> </u>	<u> </u>
013-0	20	< 0,05	31	0,24	< 100		ļ <u>.</u>	<u> </u>
	10	< 0,05	9	0,18	< 100		<u> </u>	
	10,	< 0,95	20	0,29	< 100		ļ	
_	10	< 0,05	21	0,22	< 100	5	<u> </u>	<u> </u>
	15	< 0,05	21		< 100	15	ļ <u>-</u> -	ļ -
021-0	25.	< 0,05	.7	I	< 100	25		ļ <u> </u>
022-0	20	< 0,05	12		< 100	15	<u></u>	
	20	$\leq 0,05$	18	0,44	< 100	15		
	20	< 0,05	17	0.22	< 100	15		<u></u>
9 26–0	15	< 0,05	29	0,33	< 100	10	·	<u> </u>
	15	< 0,05	7	0,20	< 100	5		
							\ <u>.</u>	
WF_001_0	20	< 0,05	6	0,13	100	5		<u>.</u>
	25.	< 0,05	16	0,26	< 100	10	ļ	
	20	< 0,05	24	9,24	< 100	15		\downarrow _
005-0	85	< 0,05	< 3	0,92	100	45		ļ
006-0	_10			0,20	Ļ 100	5		-
007-0	10	< 0,05	28	0,40	<u>k 100</u>	5		L
	007-0 008-0 009-0 010-0 011-0 012-0 013-0 015-0 016-0 020-0 021-0 022-0 023-0 025-0 026-0 027-0 WF-001-0 003-0 005-0 006-0	NP DA AMOSTRA Ppm AJ-037-0 15 038-0 15 039-0 20 040-0 15	NP DA AMOSTRA Ppm %	NP DA AMOSTRA Ppm \$ Ppm	Nº DA AMOSTRA Ppm \$ Ppm \$ Nº DA AMOSTRA Ppm \$ Ppm \$ Nº DA AMOSTRA Nº D	NP DA AMOSTRA ppm \$ ppm pp	No Da Amostra ppm \$ ppm \$ ppm ppm ppm AJ-037-0 15 < 0.05 10 0.13 < 100 5	No ba Amostria No b

Nº AMOSTRAS .. 73

CAIRA

Ma: 6

METAIS DE GOIÁS S/A.-METAGO

BR-155 Km 2 - FONE 261-33-00-TELEX 0622340-GOIANIA-GU

3653 / 86

Boleti	m de Análise	
N ₅	49173	3

INTERESSADO	COMPANHIA MATOGROSSENSE	TIPO AMOSTRA SEDIMENTO DE CORRENTE
	DE MINERAÇÃO (METAMAT)	PREPARAÇÃO PULVERIZAÇÃO
		ATAQUE ÁGUA RÉGIA
LOCAL	GEOL. ANTONIO J. P. DE BARRO	
RESP		* *

No		As	Au	Co	Сu	Fe	Mn	Ni	
LABORATÓRIO	Nº DA AMOSTRA	ppm	ppm	ppm	ppm	90	ppm	ppm	
25442 F	WF_008-0	< 10	< 0,10	5	10	1,04	70	10	
25443 P	009=0	< 10	< 0,10	10	10	1,62	90	10	
25444 E	011-0	< 10	< 0,10	30	. 35	3,30	705	40 .	
25445 P	The The	< 10	< 0,10	5	10	1,09	100	10	
25446 F	015-0	< 10	< 0,10	10	15	3,64	170	15	
25447 P	016-0	< 10	< 0;10	5	5	0,90	75	10	
25448 F	017-0	< 10	< 0,10	· 5	- 5	0,52	.40	5	ļ
25449 F	018-0	< 10	< 0,10	5	5	1,00	210	10	
25450 F	019-0	< 10	< 0,10	5	5	0,55	80	5	
25451 F	020-0	< 10	< 0,10	5	10	1,87	70	15	
25452 P	021-0	< 10	< 0,10	. 10	10	1,31	135	10	<u>.</u>
25453 P	022-0	< 10	< 0,10	5	5	0,87	145	5	
25454 P	024-0	< 10	< 0,10	5	5	0,80	70	10	ļ
25455 P	025_0	< 10	< 0,10	5	5	1,00	100	5	<u> </u>
25456P`	026-0	< 10	< 0,10	5	5	0,80	80 .	5	
									<u> </u>
							<u> </u>		
- 							<u> </u>		<u> </u>
	·								
								1	
	<u> </u>			•					
·			· · · · ·				T		
ļ									
			1						
				-			•		
]				
					1				
		 		1			Ţ <u></u>	1	

PEDIDO DE 03/	<u>'detec/86</u>
Nº AMOSTRAS.	_73

	CAIXA	
--	-------	--

GOIANIA 08 04 86

A N E X O 04

FICHAS DE DESCRIÇÃO PETROGRAFICAS

METAIS DE GOIÁS S/A - METAGO - DIRETORIA TECNICA:

METAMAT
Protocolo Nº 258/86
Protocolo No de
Processo No 197/86
Processo No.
Data 24 104 186
Data Control Towns of The
Benlesus ifmuila.
The state of the s
Secto de Comunicason

FICHA DE DESCRIÇÃO PETRO

INTERESSADO:

METAMAT

LOCALIZAÇÃO:

Nº DA AMOSTRA

AJ-002-3

PETROGR.:

Aurelene da Silva

— CLASSIFICAÇÃO — ROCHA GABRÓICA

COMPOSIÇÃO MINERALÓGICA FELDSPATO
PIROXÊNIO
ANFIBÓLIO
CLORITA

CARBONATO

- DESCRIÇÃO -

Rocha de coloração escura, granulação média e estrutura maciça. Mi croscopicamente observa-se que a amostra encontra-se intensamente alterada, reconhecendo-se no entanto uma textura ofítica e a predo minância do feldspato sobre os demais minerais.

O feldspato apresenta-se como cristais bem desenvolvidos que encontram-se quase que completamente saussuritizados, entretanto, alguns grãos exibem faces bem definidas e vestígios de geminações do tipo albita. A alteração que afeta o mineral não nos permite a determinação do tipo de plagioclásio presente na lâmina (plagioclásio cálcico?). O anfibólio mostra pleocroismo levemente esverdeado, possui as pecto fibroso e classifica-se como pertencente a série tremolita-actinolita. O clinopiroxênio (titanaugita) apresenta-se como cristais irregulares que ocupam os interstícios do feldspato e que encontram se sendo substituídos pelo anfibólio (uralitização). Lamelas de clorita distribuem-se por toda a lâmina e provavelmente tem sua origem relacionada a alteração do piroxênio ou anfibólio. Cristais de carbonato ocorrem mais restritamente e provavelmente são provenientes da alteração de algum mineral (feldspato?).

OBS: A rocha tem composição gabróica e poderia, dependendo da manei ra como ocorre, ser classificada como gabro ou diabásio; por não sa bermos o contexto em que a mesma está inserida foi denominada de rocha gabróica.

FICHA DE DESCRIÇÃO PETROGRÁFICA

INTERESSADO: METAMAT	Nº DA AMOSTRA: AJ-008-3	Nº DA FICHA: 027-86
LOCALIZAÇÃO:	PETROGR.;	
}	Aurelene da Silva	

FELDSPATO QUARTZO

CLORITA OPACOS

- DESCRIÇÃO -

Rocha de coloração escura, granulometria fina e estrutura maciça.Mi croscopicamente observa-se que a amostra apresenta uma estrutura ofítica, se encontra intensamente alterada e é constituída basica mente por feldspato e clorita.

COMPOSIÇÃO MINERALÓGICA

O feldspato apresenta-se bem desenvolvido, com as faces definidas e intensamente saussuritizado, não sendo possível portanto a determinação de sua composição (plagioclásio cálcico?). A clorita se encontra presente como produto de alteração do antigo mineral máfico (piroxênio?) presente na amostra, exibe pleocroismo esverdeado e ocor re nos interstícios do feldspato. Grãos de quartzo distribuem-se restritamente na lâmina.

OBS: Por acreditarmos que a rocha original apresentava natureza ga bróica, a amostra poderia ser classificada como gabro ou diabásio dependendo do seu modo de ocorrência. Como não sabemos o contexto que a mesma está inserida, classificamos-na de diabásio devido a sua granulometria fina.



	1		100	oluc:			Aves	1 1		
	-			SÍVEL A		·	OURO Amalemmado	I	TAL POR-MMOSTR	
Nº DA AMOSTRA			ÇAO G	RANULOM	ETRICA	FRAÇÃO GRA NULOMETRICA		THE FOR AMOSTR		
		FAIXA — I		FAIXA—2		FAIXA-3			1	
·	Nº PINTAS	PESO(mg)	Nº PINTAS	PESO(mg)	Nº PINTAS	PESO (mg)	PESO(mg)	Nº PINTA	PESO(mg)	
WF-211-001-1		-		-		-	, ,	. –	- 1	
WF-21·1-002-1	-	.	_	_	-	_		-	-	
WF-211-003-1	-,	, 🛶	_	_					- 50	
WF-211-004-1	1		-	-	-	-		-	-	
WF-211-005-1	- *	-	-	-	-			-		
WF-21 T- 006-1						-	- •	-		
WF-211-007-1	-	-	-	-	_	-			. 1	
ШF-211-008-1	-	-	-	-	-		·-·			
WF-211-009-1	-	_	-	-	_				-	
WF-211-010-1	_	<u>-</u>	-	-		_				
WF-211-011-1	_]	-	_	_	-	_				
₩F-211-012-1		-			-	_	,			
WF-211-013-1	-4	_	-			_			- :	
WF-211-014-1	_	-	-	_	_	_				
WF-211-015-1	-	-	-	_				_		
WF-211-016-1	-		-							
WF-211-017-1	-	-	-		2	0,14		2	0,14	
WF-211-018-1	Não	foi	feito	concent	rado de	bateia				
WF-211-019-1	-	<i>-</i> .	-	-	-	_				
WF-211-020-1	-	_	-	_	1	0,,07		1	0,07	
WF-211-021 - 1	_	-	-	-	_	-		_		
₩F-211-022-1	-	_	-		_	-				
WF-211-023-1	-	-	-	-	_		1		 	
WF-211-024-1	-	-	-	, <u>.</u>						
ม์F-211-025-1	_	<u>-</u>		, -	-			_+		
IJF-211 - 026-1	-	-	-	-		_ ·				
										
										



			PROC	ESSO: D	N P·M		1			
		OU	IRO VI	SÍVEL A	LUPA		OURO AMALGAMADO FRAÇÃO GRA			
Nº DA AMOSTRA		FRAÇ	ÃO G	ÃO GRANULOMÉTRICA				OURO-TOTAL POR-AMOSTRA		
		. FAIXA — 1		FAIXA—2		FAIXA-3			,	
,	Nº PINTAS	PE\$0 (mg)	Nº PINTAS	PE\$0 (mg)	Nº PINTAS	PE\$0 (mg)	PE80(mg)	Nº PINTAS	PESO(mg)	
GD - 001-1		_	_		-	-		-	-	
GD - 002-1		-	_		-	-		-	- ,	
GD ~ 003-1	-	-	1	0,21	2 .	0,14		3	0,35	
GD - 004-1			, 1	0,21	-	-		1	0,21	
GD - 005-1			- .	_	-		i,		_	
GD - 006-1	-		-			م ن -		_		
GD - 007-1			1	0,21		-		1	0,21	
GD - 008-1		_	_	-	_			_	-	
GD - 009-1	-	· •	-	<u>.</u>	3	0,21		3	0,21	
GD - 010-1			-		-	_		_	-	
GD - 011-1			-	-	4	0,28		4	0,28	
GD - 012-1	8	_	-	-	-	 ,		-	· -	
GD - 013-1	•	_	, 1	0,21	4	0,28		5	:0,49	
GD - 014-1		.	_	•	-	-		_	-	
GD - 015-1	1	0,74	-	-	7	0,49		8	1,23	
GD - 016-1		_	1	0,21		-		1	0,21	
` GD - 017-1			-	-	-	-			-	
GD - 018-1		-			_	-			<u>}</u>	
) GD - 019-1			_		-	-			- /	
GD - 020-1		<u>-</u>	_		1,	0,07		1	0,07	
GD - 021-1	. -	-	-		3	0,21		3	0,21	
GD - 0 22 - 1	-	_	-	-	-,	-		-	-	
GD - 023-1	-	-		-	1	0,07		1	0,07	
GD - 024-1	1	0,74	2	0,42	5	0,35		8	1,51	
GD - 025-1		-	. , 2	0,42	3	0,21		5	0,63	
GD - 026-1		-	, _		2	0,14		2	0,14	
GD - 027-1	-	-		-	.2	0,14		2	0,14	
						T				



Nº DA AMOSTRA FRACE FRAC					ESSO. DI			1 		<u>.</u>	
NE DA AMOSTRA FAKKA-1 FAKKA-1 FAKKA-2 FAKKA-3 FAKKA-3 FAKKA-3 FAKKA-3 FAKKA-3 FAKKA-3 FAKKA-4 FAKKA-1 FAKKA-3 FAKKA-3 FAKKA-4 FAKKA-3 FAKKA-3 FAKKA-4 FAKKA-3 FAKKA-4 FAKKA-1 FAKKA-3 FAKKA-4 FAKKA-3 FAKKA-3 FAKKA-4 FAKKA-3 FAKKA-3 FAKKA-3 FAKKA-4 FAKKA-3 FAKKA-3 FAKKA-3 FAKKA-4 FAKKA-3 FAKKA-4 FAKKA-3 FAKKA-1 FAKKA-3 FAKKA-1 FAKKA-3 FAKKA-1 FAKKA-3 FAKKA-1 FAKKA-3 FAKKA-	-i										
Part	Nº DA AMOSTRA		FRAÇ	ÃO G	RANULOM	ÉTRICA	•		4	IAL POR-AMOSTRA	
A3 - 001-1			FAIXA I		FAIXA 2		FAIXA-3				
A3 - 002-1		Nº PINTAS	PE\$0 (mg)	Nº PINTAS	PE80(mg)	Nº PINTAS	PE\$0 (mg)	PESO(mg)	Nº PINTAS	PESO(mg)	
A3 - 003-1 1 0,07 1	AJ - 001-1	-		, –	_	-	-	Ŧ	-	-	
A3 - 004-1 1 0,07 1 0,07 A3 - 005-1 <	AJ - 002-1				_	-			_	:	
A3 - 005-1	AJ - 003-1	<u></u>	<u>,-</u>	_			** ,		-		
A3 - 006-1 -	AJ - 004-1	<u> </u>		-		1	0,07		1	0,07	
AJ - 007-1	AJ - 005-1		-	-	-	-	-	,	• -	-	
AJ - 008-1	AJ - 006-1	, -	-		-				-		
AJ - 009-1 - 2 0,42 2 0,14 8 1,93 - - - - - - 0,14 8 1,93 - - - - - - 0,14 8 1,93 - <t< td=""><td>AJ - 007-1</td><td>.<u>t</u>.</td><td>074~</td><td>-</td><td>-</td><td>5</td><td>0,35</td><td></td><td>É</td><td>1,89</td></t<>	AJ - 007-1	. <u>t</u> .	074~	-	-	5	0,35		É	1,89	
AJ - 010-1 5 3,70 8 1,68 20 1,40 33 6,78 AJ - 011-1 1 0,74 5 1,05 2 0,14 8 1,93 AJ - 012-1 2 0,42 2 0,14 4 0,56 AJ - 013-1 1 0,74 1 0,21 6 0,42 8 1,37 AJ - 014-1	AJ - 008-1		<u>-</u>	-	_	14-4	_		-	-	
AJ - 011-1	AJ - 009-1	_	-			•	-		_	, -	
AJ - 012-1	AJ - 010-1	5	3,70	8	1,68	20	1,40		33	6,78	
AJ - 013-1	AJ - 011-1	1	0,74	5	1,05	2	0,14		8	1,93	
A3 - 014-1	AJ - 012-1	-	-	2	0,42	2	0,14	,	4	0,56	
AJ - 015-1	AJ - 013-1	. 1	0,74	1	0,21	6	0,42		8	1,37	
A3 - 016-1	AJ - 014-1		_	-	-	-	-		-	-	
AJ - 017-1	AJ - 015-1			-	-	-	_		_	-	
AJ - 017-1	AJ - 016-1			-	_	-	-			-	
A3 - 018-1	AJ - 017-1	-			_		-		-	-	
AJ - 020-1	AJ - 018-1			-	-				-	- 1	
AJ - 021-1	AJ - 019-1	-			-	-	_		- 2'	-	
AJ - 022-1 2 0,14 2 0,14 AJ - 023-1	AJ - 020-1			-		-			-	,	
AJ - 022-1 2 0,14 2 0,14 AJ - 023-1	AJ - 021-1	-		-	-	-	-		-	- ,,	
AJ - 024-1		[_	- [-	2	0,14		2 .		
AJ - 024-1	AJ - 023-1			- [-]		- 1		-		
AJ - U25-1		-	-	-	-		-		-		
AJ - 027-1		-	-	- ,	-				-		
			-	,-	-				-		
AJ 028-1		-		-		-	-			-	
	AJ - 028-1		-	-	-	<u>-</u> ;	<u>- </u>		-		



				PROC	ESSO: DI	V PM				·
•			OU	RO VI	SÍVEL A	LUPA		OURO AMALGAMADO		
Nº DA AMOSTRA			FRAÇ	ÃO G	RANULOM	ÉTRICA		FRAÇÃO GRA NULOMETRICA	0000-TO	TAL P or Amostr i
		FAI	XA — 1	FAI	FAIXA—2		FAIXA-8			
,	•	Nº PINTAS	PESO (mg)	Nº PINTAS	PESO(mg)	Nº PINTAS	PESO(mg)	PESO(mg)	Nº PI NTAS	PESO(mg)
AJ -	· 029 - 1	-	-	1	0,21	2	0,14	j	. 3	0,35
AJ -	030-1	-	_	-	_	_			_	_
	1 4		j.		-					<u> </u>
_				:			<u> </u>		·	
		1.73			:	5.43		•	, ,	*
			,))						
		P			<u>, </u>	•			 	7
							:		-	
			٠.		-					
			*					;:·	ı	·
			,		,					
						, –				
_										
			,			,				
4	,									
<u> </u>	:						- 			
	<u> </u>		,					,		
;								1		
		í	į.];			
									,	
,							,	,		
· · · · ·										
					.,					
<u> </u>		- 								
·	1									
	·, ,				1		ŧ			



	•	•		PROC	CESSO: D	N P·M			ι	
	••	*	OL	,	•					
	_		FRA	ÇÃO G	AMALGAMAD FRAÇÃO GR <u>I</u> NULOMETRIC	4	TAL POR-AMOSTR			
	Nº DA AMOSTRA		I — AXI	FA	FAIXA 2		FMXA-3		7	,,
	,	Nº PINTAS	PESO(mg)	Nº PINTAS	PESO(mg)	Nº PINTAS	PESO(mg)	PESO(mg)	Nº PINTA	
	WF-211-001-I	-		-	_	-	_	, ,	_	,
	WF-21·1-002-1		_	-	_	-] -		,-	
	WF-211-003-1	-	-	-	-		<u>-</u>		-	-
	WF-211-004-1		-	-	-	-	-		-	-
	WF-211-005-1	-	-	_	-	-	-		-	-
	WF-21 T- 006-1	* •			-	-	-			-
	WF-211-007-1	-	-	-	-	-	-		-	- :
	WF-211-008-1	-	<u> </u>	-	-	-	-		-	_ •
	WF-211-009-1	-	-	_	- .	-	-		-	-
	WF-211-010-1			_			_		-	-
	₩F-211-011-1	-	-		-	_	-		-	-
	WF-211-012-1	- .	_	-	_	_	-	ı	_	-
	₩F-211-013-1	- ,	-	-		-	-		1	- '
	WF-211-014-1	-		-	-	-	-		_	- :
	WF-211-015-1	-	<u>-</u>		-	-	-		-	- :
	WF-211-016-1	-	-		-	-	-		-	-
	ωF-211-017-1	-	-	-	-	2	44۾ 0	·	2	0,14
	WF-211-018-1	Não	foi	feito	concent	rado de	bateia			
	ŴF-211-019 - 1	-			<u>-</u>	**	-			-
L	WF-211-020-1	-	-	1		1	0,07		1	0,07
L	WF-211-021-1	-	-			-	_ ;-	. <u>. </u>		_
L	WF-211-022-1		-			~	-			-
L	WF-211-023-1			-		-		ı	-	
L	ШF-211-024-1	-	-						1	ŧ.
L	WF-211-025-1	-	<u>-</u>	<u> </u>	<i>'</i> –	-	<i></i>	·	-	
_	WF-211-026-1	-	-	-	<u>*</u> _	-	- ·		-	-
	· · .									



			PRUC	ESSO: DI	V PM		•		
	OURO VISÍVEL A LUPA . FRAÇÃO GRANULOMÉTRICA						OURO AMALGAMADO		•
Nº DA AMOSTRA							FRAÇÃO GRA DURO TOTAL POR AMOSTR		
Nº DA AMOSIKA	FAIXA — I		FAIXA — 2		FAIXA-3		FAIXA 4		ļ, ·
	Nº PINTÁS	PESO(mg)	N [©] PINTAS	PESO(mg)	Nº PINTAS	PEȘO(mg)	PESO(mg)	N [©] PINTAS	PESO(mg)
GD - 001-1	_	_	-	-	-	-	<u>,</u>	-	- ,
GD - 002-1	-	-	_	<u>-</u>	_			_	
GD - 003-1	-	-	1	0,21	2 -	0,14		3	0,35
GD - 004-1		-	1	0,21	-	-		1 .	0,21
GD - 005-1	· -	· <u>-</u>	<u>.</u> .	-	-	••		-	-
GD - 006-1	-	ì	-	3	· -	·		, -	_
GD - 007-1	+ .	-	1	0,21	· -	-		1	0,21
GD - 008-1	_	-		-	•	-			-
GD - 009-1		-	1	_	3	0,21		3	0,21
GD - 010-1	_		-	<u>-</u>	_	-		_	_ :
GD - 011-1	_	. –	-		4	0,28		4	. 0,28
GD - 012-1	-	-	_	_	-	- ,		-	· <u>-</u>
GD - 013-1	-	-	. 1	0,21	4	0,28		5	:0,49
GD - 014-1	-		-	-	-	-		-	· -
GD - 015-1	1	0,74	-	-	7	0,49		В	1,23
GD - 016-1	-	-	1	0,21	-	-		1	0,21
GD - 017-1	-	-	-	-	, <u> </u>	-		-	-
GD - 018-1	-	_				-		-	<u>.</u>
GD - 019-i	-	· -		-	-	-		_·	,
GD - 020-1		-	-	-	1,	0,07		1	0,07
GD - 021-1		-	-	-	3	0,21		3	0,21
GD - 022-1	_	_		-	-			-	-
GD - 023-1		-	-	_	1	0,07		1	0,07
GD - 024-1	1	0,74	.2	0,42	5	0,35		8	1,51
GD - 025-1	-	-	. , 2	0,42	3 .	0,21		5	0,63
GD - 026-1	-	-		•	2	0,14		2	0,14
GD - 027-1		-	-	-	2	0,14		2	0,14
<u> </u>				•					



TABELA I RESUMO DOS RESULTADOS ANALÍTICOS PARA OURO

PROCESSO: DNPM

			PROC	CESSO: DI	V P·M		1	•	
4		OU	RO VI	SÍVEL A	LUPA		OURO AMALGAMADO		
	FRAÇÃO GRANULOMÉTRICA FI							OURO-TO	TAL POR AMOSTRA
№ DA AMOSTRA		1 — AX	FA	FAIXA 2		FAIXA-3		· .	,
•	Nº PINTAS	PESO (mg)	Nº PINTAS	PESO(mg)	Nº PINTAS	PESO(mg)	PESO(mg)	N [©] ₽1 NTAS	·PESO(mg)
AJ - 001-1	-	-	-	_	-	-	;	-	, -
AJ ~ 002-1	-		_	-		-		_	
AJ - 003-1	. T	٠٠,	-	-	-	_		-	
AJ - 004-1		· · · · · · · · · · · · · · · · · · ·	, _	_	1	0,07		1	0,07
AJ - 005-1	-	· _	-	-		-		• -	_
AJ - 006-1	-	-	-	-	_	-			-
AJ - 007-1	1	. 074	-	-	5	0,35	. 1		1,09
AJ - 008-1	-	_	-	_	-	-		+	_
AJ - 009-1	-	-	-	-	_	-		_	
AJ - 010-1	5	3,70	8	1,68	20	1,40		33	6,78
AJ - 011-1	·1	0,74	5	1,05	2	0,14		8	1,93
AJ - 012-1	-	-	2	0,42	2	0,14	,	4	0,56
AJ - 013-1	. 1	0,74	1	0,21	6	0,42		8	1,37
ÀJ - 014-1	-	-	- 1	-	-	-		-	
AJ - 015-1	-	-	-		-	-			- .
AJ - 016-1	-	-		-	-	-		-	- ,
AJ - 017-1	-	-	-	-	-	-			-
AJ - 018-1		-	-		-	-		_`	- :
AJ - 019-1	-	-	- [-		-			-
AJ - 020-1	-	-	-	-	-			-	-
AJ - 021-1	-	-	-	-	-	-		-	- ,,
AJ - 022-1			-	-	2 ·	0,14	;	2	0,14
AJ - 023-1	-	-	-	-		- ,		-	-
AJ - 024-1	-		-	-		-		-	-
AJ - 025-1	- [-	-,					-	
AJ - 026-1	-	-		-	-	-		-	-
AJ 027-1			-	<u>-</u>	-	-			-
AJ 028-1	-	- T	-	-	- :	-			~-



TABELA I RESUMO DOS RESULTADOS ANALÍTICOS PARA OURO

PROCESSO: DNPM

			PROC	ESSO: D	NPM				1	
	<u></u>	OU		SIVEL A			OURO AMALEAMADO	TAL POR-AMOST		
Nº DA AMOSTRA	FRAÇÃO GRANULOMÉTRICA						FRAÇÃO GR <u>A</u> NULOMETRICA	4		
Nº DA AMOUTHA		FAIXA — I		FAIXA 2		FAIXA3				
	Nº PINTAS	PESO(mg)	N [©] PINTAS	PESO(mg)	Nº PINTAS	PEȘO (mg)	PE\$0(mg)	N [©] PINTAS	PESO(mg)	
AJ - 029-1	_		1	0,21	2	0,14		3	0,35	
AJ - 030-1			_	-	-	-		-		
<u> </u>								· ————————————————————————————————————		
		· · · · · · · · · · · · · · · · · · ·	:							
				•	*_55	*	•	• .	*	
									÷	
			•	•	-					
		<u> </u>								
		1 ,			,					
								,		
									:	
					<u> </u>				· -	
					,					
·							,			
;		<u></u>		···-			,,			
	·							,		
							<u> </u>	<i>:</i>		
							·			
				·						
·				· /			·			
<i>i</i>		· .								
•		· · .							· · · · · · · · · · · · · · · · · · ·	
<u>.</u>						• 1	ŀ			

BR-153 Km 2 -FONE 261-33-00-TELEX 0622340-GOIANIA-GO

3654/86

Bolet	im (le	Análise	
N ₅ —	491	74		<u>/1</u>

	COMPANHIA MATOGROSSENSE	TIPO AMOSTRA ROCHA
MIERESSACO -	DE MINERAÇÃO (METAMAT)	PREPARAÇÃO PULVERIZAÇÃO
		ATAQUE AGUA RÉGIA
DESE		M ANALÍTICO ABSORÇÃO ATÔMICA

			T	This is	7-				
Nº LABORATÓRIO	. Nº DA AMOSTRA	Sr_	Th	TiO ₂	Zn	l	<i></i>		
LABORATORIO	·	ppm	ppm	8	ppm		 		
25457 P	AJ-002-3	700	₹ 5	0,97	80	<u> </u>]		
25458 P	009-3	N 100	20	0,27	5	<u> </u>	<u></u>]	ı ——— —]	
25459 P	013-3	< 100	< 5	0,79	1010		1		
			<u> </u>	<u> </u>	 	ļ]	 	,	
25460 P	GD-001-3	< 100	16	0,60	15		<u> </u>	<u> </u>	,
25461 P	003-3	300	< 5	0,98	50	ļ!	<u> </u> }		
25462 P	009-3	< 100	21	0.23	5		<u> </u>	l	
			<u></u>			. <u> </u> '			,!
25463 P	WF-023-3	100	14	0,16	20				J
				[\'	l		ı——
			Ţ	 					. :
						Ţ	<u> </u>		L
		1							
			1		ļ				Ĺ <u>. </u>
						 			i
		1					,		<u> </u>
					1	1		,	
		 	 		-	-			
		 	+		 	 -	 		<u> </u>
	<u></u>			-		.			
 		+	 	 	 				
		+	 	+	 	 	ļ	 	
		+					<u> </u>	 	1
 			+	-	 			ļ!	
				-	.	-	 	 	ļ
		_			 	-		{···'	
						.	 	<i>'</i>	
<u> </u>			-						
			<u> </u>	 		-	·	ļ!	-
					.		.	. '	
l I					<u></u>		<u></u>	<u> </u>	<u> </u>

PEDIDO DE 03/DETEC/86
Nº AMOSTRAS 07

CA1XA

04 / 80	
	_
	PONSÁVEL

BR-153 Km 2 - FONE 261-33-00-TELEX 0622340-GOIANIA-GO

3654/86

Bolet	im	de	Análise) }
N₅_	491	.74	<u></u>	1

	COMPANHIA MATOGROSSENSE	TIPO AMOSTRA ROCHA
OCAEESHATMI	DE MINERAÇÃO (METAMAT)	PREPARAÇÃO PULV ERIZAÇÃO
		ATAQUEÁGUA_RÉGIA
RESP.	GEOL. ANTONIO J. P. DE BARROS	

Nº T		Sr	Th	TiO ₂	Zn)
LABORATÓRIO	Nº DA AMOSTRA	ppm	ррт	9	ppm				' i
	47.000.3			0,97	80				
25457 P	AJ-002-3	700	<u>₹ 5</u>		1 1				'
25458 P	009-3	N 100	20	0,27	5		-		
25459 P	013-3	< 100	< 5	0,79	1010				
<u></u>		 							
25469 P	GD-001-3	< 100	16	0,60	15				
25461 P	003-3	300	< 5	0,98	50				
25462 P	009-3	< 100	21	0,23	5				
			<u> </u>	·					
25463 P	WF-023-3	100	14	_ 0,16	20				
					ļ				
									•
<u> </u>			1						
		- 	- 				~		
				 					
			 	·····		·——·			
		 	 						
	<u>. </u>						<u>=</u>		
			- 	-	 				
			<u> </u>	1	ļ				, <u></u>
					<u> </u>				
			- 	ļ	<u> </u>				<u> </u>
			<u> </u>		<u> </u>				
					<u> </u>				. <u>.</u>
			T						
	<u> </u>	<u> </u>	- 		·		,		
			-		 	 			
		·	<u> </u>			<u> </u>			
		_							
ļ			- 	 	-		}- 		
	· · · · · · · · · · · · · · · · · · ·	_			 		ļ <i>-</i>		
(<u> </u>	<u> </u>		<u> </u>	<u>l</u>	<u> </u>	<u> </u>

PEDIDO DE 03/	DETEC/86
HP AMOSTRAS	07

|--|

GOIANIA .	28	_04_	, 86	
- Ifa	1100 1	FSPOU	RAVEL	

BR-153 Km 2 - FONE 261-33-00-TELEX 0622340-GOIANIA-GO

3654/86

Bolet	im	de	Análise	
N5 [—]	49:	174		1

(ACCEPESSADO	COMPANHIA MATOGROSSENSE	TIPO AMOSTRA -	ROCHA
			PULV ERIZAÇÃO
LOCAL		ATAQUE	ÁGUA RÉGIA
RESP.	GEOL. ANTONIO J. P. DE BARROS	M. ANALÍTICO	ABSORÇÃO ATÔMICA

N ₀		12.0	G=0	FeO	70-0	H O	T O	W-0	
LABORATÓRIO	Nº DA AMOSTRA	Al ₂ 03	CaO	reO .	Fe ₂ O ₃	H ₂ 0	K ₂ 0	MgO	
		· · · · ·						g,	
25457 P	AJ-002-3	15,30	1		0,83	3.38	1.80	7,70	
25458 P	009-3	6,10	< 0,10	0,54	0,26	1,25	2,29	<0,10	
25459 P	013-3	15,80	0,29	8,99	0,10	5,59	3,55	3,14	
<u> </u>		ļ	 -					-	
25460 P	GD-001-3	21,11	< 0,10		3,05	4,54	5,16	<0,10	
25461 P	003-3	15,22	11,59	5,25	1,60	2,35	2,00	6,91	
25462 P	009-3	11,10	< 0,10	1,05	0,63	1,83	5,45	< 0,10	
25463 P	WF-023-3	18,93	0,23	0,44	3,97	4,38	5,48	<0,10	
					<u> </u>				
		 							
									
·		1		<u></u> -	<u> </u>				
 				 					
 	<u> </u>	 			<u> </u>	<u> </u>			
-					1		<u> </u>		1
	<u> </u>	 	 	<u></u>	i				+-+
		 			 -			 	-
		-	 -		- '2	 			1
		 			MET			-	\vdash
		<u> </u>		Prote	4-16	258/86 229/86	-		-
	·	<u> </u>		Price	, 20 	228/86	 		
	<u> </u>	<u> </u>		Data	14.	05,	86	· 	$\downarrow \downarrow \downarrow$
			ļ	<u> </u>		Sima.		<u> </u>	
					Seção de	Σοπυπίταςδο		<u> </u>	igspace
	,		<u> </u> 		<u></u>			<u> </u>	
	•	T				Γ	<u> </u>		
			<u> </u>					-	
		 			1				
		1	l	<u> </u>	<u> </u>	1	<u></u>		

PEDIDO DE 03/	DETEC/86
Nº AMOSTRAS	07

G	OIANIA . 28 / 04 / 86	
	Jancia-	
-	QUÍMICO RESPONSAVEL	

BR-153 Km 2 - FONE 261-33-00-TELEX 0622340-GOIANIA-GO

LOTE
<u>3654/86</u>

Boletim	de	Análise,	
Nº49.	<u> 174</u>		1

 NOTERESTADO -	COMPANHIA MATOGROSSENSE	TIPO AMOSTRA -	ROCHA
IN ENESSADO			PULV ERIZAÇÃO
			ÁGUA RÉGIA
RESP.	GEOL. ANTONIO J. P. DE BARROS		

			<u> </u>		7 0	<u> </u>	77.0	15 0	
Nº LABORATÓRIO	Nº DA AMOSTRA	A1203	1	FeO	Fe ₂ O ₃		K ₂ 0	MgO	
		8	8	8	8	9	g	ą,	
25457 P	AJ-002-3	15,30	9,75	6.50	0,83	3.38	1,80	7,70	
25458 P	009-3	6,10	< 0,10	0,54	0,26	1,25	2,29	<0,10	
25459 P	013-3	15,80	0,29	8,99	0,10	5,59	3,55	3,14	
		<u> </u>							
25460 P	GD-001-3	21,11	< 0,10	0,20	3,05	4,54	5,16	<0,10	
25461 P	003–3	15,22	11,59	5,25	1,60	2,35	2,00	6,91	
25462 P	009-3	11,10	< 0,10	1,05	0,63	1,83	5,45	<0,10	
25463 P	WF-023-3	18,93	0,23	0,44	3,97	4,38	5,48	<0,10	
			-						
 			,						
					1				
ļ -			\						
- -					 				
 	<u></u>			†	 	ļ	-	1	
 				 	┼──~	<u> </u>			_
			 		-			 	
		 	 	 	 			 	
}		 	 	 	-		 		
		 	-	 	<u> </u>			 	┼-
		 		 	MET	MAT		 	-
		 	<u></u>	Proto	rolo Nº .	238/86 229/86	- -	ļ	├
	·	ļ	 	Proce	-1		! !	 	—
		<u> </u>		Data	14	F	86	· 	.
	!	<u> </u>	<u> </u>	<u> </u>		Sime.		<u> </u>	—
	•		ļ		Seção de	Comunicação		<u> </u>	
			<u> </u>	<u> </u>				<u> </u>	<u> </u>
	•			<u> </u>	<u> </u>	<u></u>		<u> </u>	
	•							l	
	-				1				
. .						<u> </u>	1	<u> </u>	

PEDIDO DE 03/	DETEC/86
Nº AMOSTRAS.	07

CAIXA	CAIXA		
-------	-------	--	--

GOLANIA . 28 / 04 / 86
Affarcia_
OUTMICO RESPONSAVEL

BR-153 Km 2 -FONE 261-33-00-TELEX 0622340-GOIANIA-GO

3654/86

Boletim de	Análise,	
Nº49174		1/1

— -·	·	
	COMPANHIA MATOGROSSENSE	TIPO AMOSTRA ROCHA
INTERESSAUD -		PREPARAÇÃO PULV ERIZAÇÃO
[DIS DILLI GROUP AND A STREET	THEPARAÇÃO =======
ł		ATAQUEAGUA_RÉGIA
LOCAL		
B C 3 P	GEOL. ANTONIO J. P. DE BARROS	M ANALÍTICO ADSUNGAU ATUMENA
1		

N ₀	Nº DA AMOSTRA	Na ₂ 0	SiO ₂	Ag_	\$&	Au	Ва	Co	
LABORATÓRIO	Nº DA AMOSINA	9	<u> </u>	ppm		mqq_	ppm	ppm	_
25457 P	AJ-002-3	3,60	49,59	1,00		< 0,10	500	50	_
25458 P	009-3	0,19	88,10	0,60		< 0,10	10	5	<u> </u> _
25 45 9 P	013-3	0,20	60,80	2,00		< 0,10	500	35	_
] -
25460 P	GD-001-3	0,63	63,91	0,60		< 0,10	1000	5	_
25461 P	003-3	1,98	50,98	0,70	<u> </u>	< 0.10	70	30	L
25462 P	009-3	0,58	78,97	· 0,50		< 0,10	<u>700</u> ნ	15	Ļ
=21,5=-2						 	 	1	ļ.
25463 P	WF-023-3	0,25	65,00	0,60		< 0,10	700	10	_
						! 			-
						 		·	1
									ļ -
					 	 			Ļ
					(}		ļ <u>.</u>		-
			ļ	. <u></u>	<u></u>	<u></u>			_
			<u> </u>		<u> </u>				_
				l	.				1
			<u> </u>		l		<u></u>		<u>]</u> .
-									
					1				
								<u> </u>	
				· · · · ·					
					1	1			
	, , , , , , , , , , , , , , , , , , ,				1				
	<u> </u>		_ 			1	<u> </u>		
<u> </u>		"							
<u>├</u>			-						1
1									
	<u> </u>				1				1

PEDIDO DE 03/DETEC/86
Nº AMOSTRAS 07

GAIX A

SUMMED HESPONAVEL

BR-153 Km 2 - FONE 261-33-00-TELEX 0622340-GOIANIA-GO

3654₂86

Bolet	im de	Análise	
N ₅	49174		

	· · · · · · · · · · · · · · · · · · ·	
	COMPANHIA MATOGROSSENSE	TIPO AMOSTRA ROCHA
INTERESSADO —	DE MINERAÇÃO (METAMAT)	PREPARAÇÃO PULV ERIZAÇÃO
	3.5. 1.5. 1.5. 1.5. 1.5. 1.5. 1.5. 1.5.	face phare
LOCAL		AFAQUEÁGUA_RÉGIA
RESP	GEOL. ANTONIO J. P. DE BARROS	M ANALITICO ABSORÇÃO ATÔMICA
AE37		

	<u> </u>								г
NB		Na ₂ 0	SiO ₂	Ag_	A &	Au	Ba	Co_	ļ
LABORATÓRIO	Nº DA AMOSTRA	%	g 8	ppm		mqq	ppm	ppm	ļ
25457 P	AJ-002-3	3,60	49,59	1,00	, - ,	< 0,10	500	50	1
25458 P	009-3	0,19	88,10	0,60		< 0,10	10	5_	
25459 P	013-3	0,20	60,80	2,00		< 0,10	500	35	ļ
]							ļ
25460 P	GD-001-3	0,63	63,91	_0,60] <u></u>	< 0,10	1000	55	
25461 P	003-3	1,98	50,98	0,70		< 0.10	70	30	1
25462 P	009-3	0,58	78,97	0,50		< 0,10	700c	15	
27700-7						 		1	1
25463 P	WF-023-3	0,25	65,00	0,60		< 0,10	700	10	1
				<u> </u> 				ļ	1
						·	<u> </u>	<u> </u>	1
							ļ		
									1
							ļ	ļ	_
]	<u></u>	<u> </u>		<u> </u>	1
							<u> </u>	<u> </u>	
					1		Ī		
						<u> </u>			
	· · · · · · · · · · · · · · · · · · ·			4 		<u> </u>			7
							·		-
			- -		1		1		_
<u> </u>			 	··	 				_
						- -	1		-
			 		<u> </u>		- 		-
			·	·			<u> </u>		-
		- -							
-			ŀ	1					
[
 				 		-	-	·	
		-				ļ	· ·		
			<u> </u>	<u> </u>	<u> </u>	1	J	<u> </u>	1

PEDIDO DE 03/DETEC/86
NY AMOSTHAS 07

CAIXA	

SOLATIA . 28 _/ 04_/___86

Gráfica de Goras

BR-153 Km 2 - FONE 261-33-00-TELEX 0622340-GOIANIA-GO

3654/86

Boletim de	Análise	
Nº49174	.	1 /1

	COMPANHIA MATOGROSSENSE	TIPO AMOSTRA ROCHA
INTERESSADO -	DE MINERAÇÃO (METAMAT)	PREPARAÇÃO PULV PRIZAÇÃO
		
LOCAL		ATAQUEAGUA_RÉGIA
RESP	COST ANYONIO I D DO BARROS	M ANALITICO ABSORÇÃO ATÔMICA
RESP		

Nō	Nº DA AMOSTRA	Na ₂ 0	SiO ₂	Ag_	\$ 5	Au	Ba	Co	
LABORATÓRIO	Nº DA AMUSIKA	Q.	9	mqq	-,	ppm_	ppm	ppm	_
25457 P	AJ-002-3	3,60	49,59	1,00		< 0,10	500	50	L
25458 P	009-3	0,19	88,10	0,60		< 0,10	10	5	_
25459 P	013-3	0,20	60,80	2,00		< 0,10	500	35	<u> </u>
25460 P	GD-001-3	0,63	63,01	0,60		< 0,10	1000	5	<u> </u>
25461 P	003-3	1,98	50,98	0,70		< 0,10	70	30	
25462 P	009-3	0,58	78,97	0,50		< 0,10	700მ	15	L
2 7402 1								1	
25463 P	WF-023-3	0,25	65,00	0,60		< 0,10	700	10	L
27407 1]		·	<u> </u>
]		·	1_
									
					;				
<u> </u>		_							_
									L
 	<u>.</u>		-			, <u></u>			
-			 		1 		1	i	Γ
			 -	 		·			1
ļ 					 	{ -	 		1-
			·					 	1-
ļ.——-	<u> </u>	 ,	 -	<u> </u>	 	ļ	 -	<u></u>	╁
 		,	<u> </u>	ļ 	 		 	 	+
					ļ	 	-		╀
			-	·	├	 	·	<u></u>	┧-
			 			-	.} <i>-</i>	 	- -
									-
			ļ					1	
									-
				ļ	ļ	.	ļ		-
									.
							<u> </u>		
. 1	· -								

PEDIDO DE 03/DETEC/86
Nº AMOSTHAS 07

CAIXA	

Afarcia . 28 -/-04 ./__ .86_

BR-153 Km 2 - FONE 261-33-00-TELEX 0622340-GOIANIA-GO

LOTE	
3654/86	

Boletim	de	
Nº49	174	

	COMPANHIA MATOGROSSENSE	TIPO AMOSTRA ROCHA
INTERESSADO -	DE MINERAÇÃO (METAMAT)	PHEPARAÇÃO PULVERIZAÇÃO
LOCAL -		ATAQUE AGUA RÉGIA
RESP	ADOL ANDONIO I D DE BARROS	M ANALÍTICO ABSORÇÃO ATÔNICA

Np	NO 04 144007734	Cu	Li	<u>Mn</u>	Ni	P ₂ 0 ₅	Pb	Rb	
LABORATÓRIO	Nº DA AMOSTRA	ppm	maq	ppm	mag	2 5	торт	maga	
25457 P	AJ-002-3	75	35 -	880	95	0,31	15_	95	<u> </u>
25458 P	009-3	5	5	50	. 2	< 0,10	15	725	
25459 P	013-3	275	65	1080	60	0,28	905	120	
-7477 -	<u> </u>	\ <u></u>							
25469 P	GD-001-3	20	_10	540	\{	< 0,10	35	795	
25461 P	003-3	50	35	420	70	0,27	25	95_	ļ
25462 P	009-3	15	10	120	10	< 0,10	15	810	
25463 P	WF-023-3	15	15	150	15	0,12	45	145	
						<i></i>			
		<u> </u>]	
					<u></u>				-
		,							
					ļ				-
		<u> </u>				ļ			$oldsymbol{\perp}$
					, · · · · · · · · · · · · · · · · · · ·				
		<u> </u>			 		<u> </u>		
									
	·	-					· · ·		-
-									

PEDIDO DE 03/	DETEC/86
ላየ <i>ለለነ</i> ባና በብዱ	07

CA : X A		
----------	--	--

Alfaria.

BR-153 Km 2 - FONE 261-33-00-TELEX 0622340-GOIANIA-GO

3654/86

Boletim	de	Análise,	53
Nº49;	174		1

		Dogut
NTERESSADO -	COMPANHIA MATOGROSSENSE	TIPO AMOSTRA ROCHA
	DE MINERAÇÃO (METAMAT)	PREPARAÇÃO PULV GRIZAÇÃO
LOCAL		ATAQUE ÁGUA RÉGIA
RESP	CENT ANTIONIO I D DE BARROS	M. ANALÍTICO ABSORÇÃO ATÔMICA

NP		Cu	Li	Mn	Ni	P ₂ 0 ₅	Pb	Rb	
LABORATÓRIO	Nº DA AMOSTRA	ppm	ppm	ppm	ppm	2 S	mag	_ppm	
25457 P	AJ-002-3	75	35	880	95	0,31	15_	95	<u> </u>
25458 P	009-3	5	5	50	. 5	< 0,10	15	725	
25459 P	013-3	275	65	1080	60	0,28	905	120	ļ
25460 P	GD-001-3	20	10	540	<u> </u>	< 0,10	35	795	
25461 P	003-3	50	35	420	70	0,27	25	95	ļ
25462 P	009-3	15	10	120	10	< 0,10	15	810	ļ
				 				<u></u>	<u> </u>
25463 P	WF-023-3	15	15	<u> 150</u>	15	0,12	45	145	
							ļ		
			.	<u> </u>			 		ļ.
			ļ		ļ		ļ		 -
							<u></u>	 -	
					. 		<u> </u>		\vdash
.,			<u> </u>				 	ļ	
			<u> </u>			ļ		_	igspace
					.	.		<u> </u>	<u> </u>
			<u> </u>			ļ	ļ	ļ	1_
								ļ	_
			ļ	ļ	<u> </u>	<u> </u>	ļ	ļ	-
						<u> </u>	ļ. <u>.</u>	.	_
		· · · · · · · · · · · · · · · · · · ·	<u> </u>	<u> </u>	1.0	· <u> </u>	<u></u>		_
						ļ		ļ	<u> </u> _
		<u> </u>			ļ	<u> </u>	ļ	ļ	. _
						<u> </u>	- 		-
			<u> </u>			ļ	ļ. <u></u> .		
ļ									-
	<u> </u>				.				-
, , , , ,									
]	1		<u> </u>	

ANALISE 03/	DETEC/86
IM VMUZEHAZ	07

CAIXA	

Afforcia De LICONOLIVE

BR-153 Km 2 - FONE 261-33-00-TELEX 0622340-GOIANIA-GU

3653/86

Boletim	de A	nálise)
Nº 49	9173		3

	COMPANHIA MATOGROSSENSE	TIPO AMOSTRA SEDIMENTO DE CORRENTE
INTERESSADO -	DE MINERAÇÃO (METAMAT)	PREPARAÇÃO PULVERIZAÇÃO
		ATAQUE ÁGUA RÉGIA
LOCAL		
Table	•	

Nº		1 40	T T	. Co	Cu	Fe	Mn	Ni	
LABORATÓRIO	Nº DA AMOSTRA	.As ppm	Au ppm	ppm	ppm	g g	ppm	ppm	
25442 F	WF-008-0	< 10	< 0,10	5	10	1,04	70	10 -	
25443 P	. 009-0	< 10	< 0,10	10	10	1,62	90	10	
25444 E	011-0	< 10	< 0,10	30	. 35	3,30	705	40 .	
I I	012-0	< 10	< 0,10	5	10	1,09	100	10	
1 · 1	015-0	<. 10	< 0,10	10	1,5	3,64	170	15	
25446 F 25447 F	016-0	< 10	< 0,10	5	5	0,90	75	10	
	017-0	< 10	< 0,10		5	0,52	40	5	
25448 F	018-0	< 10	< 0,10		5	1,00	210	10	
25449 F	019-0	< 10	< 0,10		5	0,55	80	5	
25450 F	020-0	< 10	< 0,10		10	1,87	70	15	
25451 F	021-0	< 10	< 0,10		10	1,31	135	10	
25452 F	022-0	< 10	< 0,10		5	0,87	145	5	
25453 F	024-0	< 10	< 0,10	5	5	0,80	70	10	
25454 P		× 10	< 0,10	5	5	1,00	100	5	
25455 P 25456P`	025-0	k 10	< 0,10	5 -	5	0,80	80 .	5	
294901	026-0	1	1						
		 	 				1	<u> </u>	
	·	 	 				 		
			 		1			-	
ļ -			1		 	<u> </u>			
 		- 						<u> </u>	
		 	<u> </u>			-	 		
<u> </u>			-			<u> </u>	1	 	\vdash
			 	<u> </u>	·		<u> </u>	-	┼─
			 	<u></u>	<u> </u>	 		 	┼
 		ļ. -	-	ļ	1		1		┼-
		· 	1	 				-	
<u></u>	•	+	 	. ———	 		 	 	1
			+	 	-		 	 	 -
				- 	 	 	-		+
			J	<u> </u>	<u> </u>	<u> </u>		<u> </u>	ــــــــــــــــــــــــــــــــــــــ

PEDIDO DE 03/DETE	c/86
Nº AMOSTRAS_73_	

CAIXA	CAIXA	
-------	-------	--

GOIANIA . 08 , 04 , 86

BR-153 Km 2 - FONE 261-33-00-TELEX 0622340-GOIANIA-GO

36<u>53</u> <u>/</u>86

Boletim de Análise

	COMPANHIA MATOGROSSENSE DE	TIPO AMOSTRA SEDIMENTO DE CORRENTE
INTERESSADO -	MINERAÇÃO (METAMAT)	PREPARAÇÃO PULVERIZAÇÃO
		ATAQUE ÁGUA RÉGIA
LOCAL	GEOL. ANTONIO J. P. DE BARROS	
RESP	GOOD. ANTONIO D. P. DE DAIBOS	M. ANALITICO

As Au Co Cu Fe Mn	Ni ppm 5 5 5 5 5 5 5 7	
Ppin ppm ppm	5 5 5	
25385 F 006-0 < 10 < 0,10 5 5 1,62 75 25386 F 007-0 < 10 0,20 5 5 0,68 90 25387 F 008-0 < 10 < 0,10 5 5 0,69 45	5 5 5	
25385 F 006-0 < 10	5 5	
25386 F 007-0 < 10 0,20 5 5 0,68 90 25387 F 008-0 < 10 < 0.10 5 5 0,69 45	5 -	:
25387 F 008-0 < 10 < 0.10 5 5 0.69 45		
$\begin{bmatrix} 1 & 1 & 1 & 1 & 1 & 1 & 1 & 1 & 1 & 1 $	<u>, l</u>	
	-5	
25389 F - 010-0 < 10 2,20 5 5 0,84 45	5	
25390 F 011-0 < 10 0,12 5 5 0,70 125	_ 5	<u> </u>
25391 F 012-0 < 10 < 0,10 5 5 0,68 80	5	
25392 F 013-0 < 10 0,14 5 5 0,84 155	5	
25393 F 014-0 < 10 0,50 5 5 0,76 75	10	
25394 F 015=0 < 10 0,13 10 10 1,78 45	10	
25395 P 016-0 < 10 < 0,10 5 5 0,94 45	5	٠,
25396 F 017-0 < 10 < 0,10 10 15 0,72 70	10	
25397 P 018-0 < 10 < 0.10 5 5 0.93 75	5	
25398 P 019-0 < 10 < 0,10 5 5 0,95 80	5	
25399 P 020-0 < 10 <<0,10 5 10 0,77 50	_ 5	
25400 P 021-0 < 10 < 0,10 5 5 0,98 75.	5	
25401 P 022-0 < 10 < 0.10 5 10 1,02 90	10	
25402 P 023-0 10 0,45 5 5 0,91 75	5	
25403 P 026-0 10 0,28 5 5 0,66 60	_5_	<u> </u>
25404 P 027-0 < 10 < 0,10 5 5 0,80 180	5	<u> </u>
25405 P 028-0 < 10 < 0,10 5 10 1,75 355	10	
25406 P 029-0 × 10 < 0,10 5 10 0,84 50	10	
25407 P 030-0 10 0,10 5 5 0,77 70	5	
25408 P 031-0 10 < 0,10 5 5 0.74 50	5	
25409 P 032-0 10 0,10 5 5 0,90 70	5	
25410 P 033-0 10 0,10 5 5 0,62 50	5	
25411 P 034-0 10 0,10 5 5 0,98 70	5	v.:
25412 P 035-0 10 < 0,10 5 5 0,65 80	5	
25413 P 036-0 10 0,15 5 15 1,98 65	1	

PEDIDO DI	°03/DETEC/86
Nº AMOST	73

CAIXA _____

GOIANIA 07 04 86 CUIMICO HESPONSAVEL



Companhia Matogrossense de Mineração

OF. Nº 220/DT/90

Cuiabá, 30 de Outubro de 1990.

REF. PROCESSOS DNPM : 866.211/82 866.212/82

866.213/82 866.217/82

866.2**19/**82

Senhor Diretor :

Ao obtermos vista nos processos supra citados junto ao DEPM, verificamos que nos mesmos constam pareceres técnicos referendando inclusão déstas áreas de pesquisa no Art. 43 das disposições transitórias da Cosntituição da Republica Federativa do Brasil, ou seja tornando sem efeito estas autorizações de pasquisa.

· Nestes termos, solicitamos a V.S., que proceda a baixa dos respecti vos álwaras de autorização, a fim de que a METEMAT não fique sujeita

Ilmo. Sr.

Dr. JOSÉ DA SILVA LUZ

MD. Diretor Presidente do 12º Distrito DNPM - Cuiabá

Cuiabá - MT.



1300 52

. He was to street t

Companhia Matogrossense de Mineração

as restrições impostas pelo Art. 27 do R.C.M.

Certos de vossa atenção, antecipadamente agradecemos.

Atenciosamente

Antonio João Paes de Barros Diretor Técnico

INTERESSADO: METAMAT	Nº DA AMOSTRA: Nº DA FICHA: AJ-009-3 028-86
LOCALIZAÇÃO:	PETROGR.:
	Aurelene da Silva

QUARTZO SERICITA ZIRCÃO OPACOS

- COMPOSIÇÃO MINERALÓGICA --

- DESCRIÇÃO ---

Rocha de coloração cinza, granulação fina e estrutura maciça. Ao mi croscópio observa-se basicamente grãos de quartzo envolvidos por uma matriz sericítica e por um cimento quartzoso e autigênico.

O quartzo exibe extinção ondulante e está representado por grãos mal selecionados (com diâmetro médio aproximadamente ao redor de 0,3 mm) e angulosos provavelmente devido ao pouco transporte sofrido pelos mesmos. Observa-se que este mineral teve um crescimento au tigênico a partir de grãos detríticos, pois os mesmos mostram os an tigos contornos originais. O zircão é um mineral acessório de ocor rência muito restrita na lâmina.

INTERESSADO:	метамат		Nº DA AMOSTRA: AJ-010-3	Nº DA FICHA: 029-86
LOCALIZAÇÃO:			PETROGR.:	- · · · · -
		1	Aurelene da Silva	

GRANITO

FELDSPATO QUARTZO BIOTITA OPACOS

- DESCRIÇÃO -

Rocha de coloração avermelhada, granulação grosseira e estrutura maciça. Ao microscópio observa-se que a amostra apresenta uma tex tura hipidiomórfica e é constituída predominantemente por feldspá to e quartzo com os demais minerais subordinados.

O feldspato apresenta cristais bem desenvolvidos e encontra-se representado tanto pelo plagioclásio que geralmente mostra-se bastante saussuritizado, como pelo feldspato potássico. Estes minerais exibem uma série de intercrescimentos (pertitização). Cristais ir regulares de quartzo ocorrem principalmente entre os interstícios dos outros constituintes, apresentam extinção ondulante e frequentes inclusões de feldspato. A biotita distribui-se restritamente e é o único mineral máfico presente na amostra, exibe um pleocrois mo variando de verde claro a verde escuro e mostra uma suave ondu lação provavelmente devido a fenômenos tectônicos sofridos pela rocha. A apatita e o zircão são minerais de ocorrência secundária.

INTERESSADO: METAMAT	Nº DA AMOSTRA: AJ-012-3	Nº DA FICHA: 030-86
LOCALIZAÇÃO:	PETROGR.: Aurelene da Silv	a

QUARTZO FELDSPATO OPACOS BIOTITA MUSCOVITA

ZIRCÃO

COMPOSIÇÃO MINERALÓGICA -

- DESCRIÇÃO -

Rocha de coloração cinza, granulometria fina e estrutura maciça.Mi croscopicamente observa-se uma matriz microcristalina felsíticapós sivelmente proveniente da desvitrificação de uma matriz vítrea original. Fenocristais de quartzo e feldspato destacam-se da massa fundamental.

O feldspato geralmente apresenta faces bem definidas, alguns cristais exibem geminações do tipo albita e mostram inclusões(?)de biotita. O quartzo encontra-se sob formas muito variadas sendo que as formas irregulares e angulosas lembram fragmentos de cristais, enquanto alguns grãos apresentam faces bem desenvolvidas de cristais. A biotita é o único mineral máfico na rocha, ocorre restritamente geralmente associadas com a muscovita e encontra-se em processo de alteração para clorita. O zircão tem uma distribuição muito limita da na amostra.

INTERESSADO:	метамат	Nº DA AMOSTRA: AJ-013-3	Nº DA FICHA: 031-86
LOCALIZAÇÃO:		PETROGR.:	•
		Aurelene da Silva	

ROCHA BÁSICA

- COMPOSIÇÃO MINERALÓGICA

FELDSPATO CLORITA QUARTZO OPACOS

- DESCRIÇÃO -

Rocha de coloração esverdeada, granulação fina e estrutura maciça. Microscopicamente observa-se que a amostra encontra-se intensamente alterada e é constituída basicamente por feldspato, clorita e quartzo. A mesma não apresenta uma textura ígnea preservada.

O feldspato encontra-se quase que totalmente substituído pela sericita e não apresenta feições diagnósticas que permitem uma carace terização da composição do mineral presente na lâmina. Lamelas de clorita ocorrem amplamente, algumas vezes sob a forma de agregados associados com o quartzo. Apesar de não se ter evidências, acredita mos que este mineral provavelmente encontra-se substituindo antigos cristais de anfibólio (?). O quartzo está presente de duas maneiras distintas: ou como grãos maiores de formas irregulares que ocorrem principalmente preenchendo veios, ou como grânulos minúscu los possivelmente de origem secundária(?).

Devido ao alto grau de alteração que afetou a amostra, não é pos sível apenas pelo estudo petrográfico reconstituir com segurança a gênese da mesma. No entanto, pelas feições observadas acredita mos tratar-se de um material ígneo básico.

INTERESSADO: METAMAT	Nº DA AMOSTRA: GD-002-3	Nº DA FICHA: 032-86
LOCALIZAÇÃO:	PETROGR.: Aurelene da Silva	

- COMPOSIÇÃO MINERALÓGICA -

QUARTZO FELDSPATO BIOTITA OPACOS

- DESCRIÇÃO -

Rocha de coloração avermelhada com granulação fina e estrutura $m_{\underline{a}}$ ciça. Ao microscópio observa-se a textura porfirítica caracteriza da por fenocristais de quartzo e feldspato que se destacam de uma matriz fina recristalizada, constituída principalmente por quartzo com feldspato subordinado.

Os fenocristais de feldspato apresentam uma intensa alteração (oxi dação?) que mascara as feições originais dos mesmos, no entanto. observa-se em alguns grãos faces bem definidas e vestígios de gem<u>i</u> nações do tipo albita e albita mais periclina(?). Verifica-se bordas deste mineral a presença de grânulos de quartzo, possivel mente de origem secundária(?). Cristais porfiríticos de quartzo com faces bem desenvolvidas, mostram engolfamento da matriz e exi bem extinção ondulante que evidencia os processos tectônicos impos tos a rocha. Lamelas de biotita com pleocroismo amarronado tem uma ocorrência restrita, algumas vezes se encontram preenchendo veios oue cortam a amostra e alteram-se geralmente para clorita (retro metamorfismo).

INTERESSADO: METAMAT	Nº DA AMOSTRA: GD-003-11	Nº DA FICHA: 033-86
LOCALIZAÇÃO:	PETROGR.:	
	Aurelene da Silva	•

ROCHA VULCÂNICA BÁSICA

COMPOSIÇÃO MINERALÓGICA
FELDSPATO TITANITA (?)
PIROXÊNIO BIOTITA
ANFIBÓLIO CARBONATO
OPACOS QUARTZO
EPIDOTO APATITA

— DESCRIÇÃO —

Rocha de coloração escura, granulometria fina e estrutura maciça. Ao microscópio observa-se uma texcura porfirítica caracterizada por fenocristais de feldspato e piroxênio que se destacam de uma matriz fina constituída por anfibólio, biotita e feldspato.

Os cristais de clinopiroxênio (augita) apresentam algumas vezes faces bem definidas e encontram-se em processo de uratilização, pois os mesmos estão sendo substituídos pelo anfibólio. O feldspato está representado por plagioclásio zonado, que exibe núcleos provavelmente mais cálcicos que as bordas. Este mineral encontra-se par cialmente saussuritizado. O epidoto está presente geralmente como cristais bem desenvolvidos, possivelmente substituindo antigos grãos de feldspato. O quartzo tem ocorrência restrita e encontra se sob a forma de um veio microscópico que corta a amostra. A apatita e a titanita(?) são minerais acessórios e distribuem-se subor dinadamente aos outros minerais. Nota-se na lâmina uma grande ocor rência de pequenos grãos de minerais opacos (principalmente magne tita).

Devido ao fato de não se conseguir definir com exatidão a compos<u>i</u> ção do plagioclásio, não nos foi possível classificar com segura<u>n</u> ça se a rocha é um andesito ou basalto.

INTERESSADO:	Nº DA AMOSTRA:	Nº DA FICHA:
METAMAT	GD-004-3	034-86
LOCALIZAÇÃO:	PETROGR.: Aurelene da Silva	

QUARTZO DIORITO

FELDSPATO CLORITA APATITA
ANFIBÓLIO BIOTITA ZIRCÃO
OPACOS TITANITA
QUARTZO EPIDOTO

Š

- DESCRIÇÃO

Macroscopicamente a amostra apresenta coloração rósea, granulação grosseira e estrutura maciça. Ao microscópio observa-se a textura alotriomórfica e a predominância de feldspato e anfibólio com os demais minerais de ocorrência subordinada.

O feldspato apresenta-se bem desenvolvido, encontra-se extremamen substituí te alterado (caulinização) com alguns grãos totalmente dos. Apesar da alteração dificultar sua classificação alguns cris tais mostram faces bem definidas e vestígios de geminações do tipo albita (plagioclásio) e mais restritamente albita mais periclina (microclinio). Este mineral exibe frequentes inclusões de lio e secundariamente de epidoto e clorita. O anfibólio (hornblen da) é o máfico predominante na amostra, exibe pleocroismo de verde claro a escuro, possui terminações irregulares e apresenta-se processo de alteração para biotita e clorita. O quartzo está sente sob a forma de grãos irregulares que exibem extinção ondulan te e que se encontra distribuído entre os interstícios dos outros constituintes. A titanita, apatita e zircão são minerais acessó rios de ocorrência limitada na lâmina.

INTERESSADO: METAMAT	Nº DA AMOSTRA: GD-005-3	Nº DA FICHA: 035-86
LOCALIZAÇÃO:	PETROGR.: Aurelene da Silva	

ROCHA BÁSICA

- COMPOSIÇÃO MINERALÓGICA

FELDSPATO ANFIBÓLIO EPIDOTO OPACOS CLORITA

QUARTZO

- DESCRIÇÃO :

Rocha de coloração escura, granulometria fina e estrutura maciça. Ao microscópico observa-se que apesar da alteração que afeta os minerais, restos de uma textura ígnea original se encontra parcial mente preservada.

O feldspato é o constituinte predominante na amostra e encontra-se saussuritizado, no entanto, exibe faces definidas e vestígios de geminações do tipo albita, sendo que as mesmas não são caracterís ticas para se determinar a composição do mineral. Pequenos cristais irregulares de anfibólio apresentam pleocroismo ligeiramente esverdeado, ocorrem nos interstícios do feldspato e possivelmente pertencem a série tremolita-actinolita. Lamelas de clorita tem uma distribuição limitada e são provenientes da alteração do anfibólio. Epidoto e restritos grãos de quartzo são minerais secundários pois encontram-se preenchendo algumas vesículas. Esta feição pode estar presente canto em basalto, como na base ou no topo de fluxos espessos de diabásio e andesito.

Geneticamente, as características observadas como textura e composição não são suficientes para se definir o tipo de rocha.Entretan to a granulometria fina poderia indicar mais um diabásio (?), en quanto que o índice de cor estaria melhor relacionado com os ande sitos. Portanto, somente as relações de campo, aliadas as observações microscópicas poderiam caracterizar definitivamente esta rocha.

INTERESSADO: METAMAT	Nº DA AMOSTRA: GD-007-3	Nº DA FICHA: 036-86
LOCALIZAÇÃO:	PETROGR.: Aurelene da Silva	

- CLASSIFICAÇÃO —

ARENITO QUARTZOSO

COMPOSIÇÃO MINERALÓGICA

QUARTZO SERICITA OPACOS FELDSPATO ZIRCÃO APATITA

- DESCRIÇÃO

Rocha de cor cinza, granulometria fina e estrutura maciça. Micros copicamente observa-se uma textura granular, caracterizada pela predominância de quartzo sobre os demais constituintes. Este mine ral encontra-se cimentado por quartzo microcristalino e autigênico.

Os grãos de quartzo apresentam formas irregulares, aproximadamente com 0,2mm de diâmetro e exibem extinção ondulante que atestam a atuação de processo tectônico sobre a rocha. Observa-se que este mineral cresceu autigenicamente a partir de grãos detríticos, pois os mesmos exibem os antigos contornos dos grãos originais. Este crescimento propiciou a formação do cimento autigênico. Cristais de feldspato têm uma ocorrência bastante restrita, encontram-se as sociados ao quartzo e mostram vestígios de geminações do tipo albita. A apatita e o zircão são minerais acessórios de distribuição limitada na lâmina. A sericita está presente como constituinte da matriz e provavelmente tem uma origem relacionada a materiais argilosos.

INTERESSADO:	Nº DA AMOSTRA:	Nº DA FICHA:
METAMAT	GD-009-3	037-86
LOCALIZAÇÃO:	PETROGR.:	
	Aurelene da Silva	

ſ 	CLASS	IFICAÇÃO -	
	TUFO	ÁCIDO	

· COMPOSIÇÃO MINERALÓGICA ·

QUARTZO FELDSPATO MICA OPACOS

– DESCRIÇÃO ·

Rocha de coloração amarelada, granulometria fina e estrutura fluidal. Macroscopicamente a amostra é composta principalmente por uma matriz fina de quartzo e muscovita (provavelmente vidro desvitrificado) que se orientam segundo prováveis linhas de fluxo, de onde sobressaem fenocristais de quartzo, feldspato e fragmentos de rocha vulcânica ácida. Em certas porções observa-se a presença de estruturas circulares (esferolitos) preenchidos por quartzo nas bordas e muscovita no núcleo. A matriz apresenta um aspecto turvo de vido a presença de finíssimas partículas de argila provavelmente resultantes da desvitrificação de uma poeira vítrea produzida nos estágios iniciais da formação da rocha.

Fenocristais de quartzo (com diâmetro médio em torno de 2,0mm) mos tram races bem definidas, algumas vezes exibem formas bipiramidais, extinção ondulante e engolfamento da matriz. O feldspato está pre sente basicamente como fenocristais (que atingem até lcm de diâme tro), levemente alterados e com frequentes inclusões de grãos de quartzo.

INTERESSADO: METAMAT	Na	DA AMOSTRA: GD-011-3	Nº DA FICHA: 038-86
LOCALIZAÇÃO:	P€	TROGR.:	
	Au	relene da Silva	1

QUARTZO DIORITO/ANDESITO PÓRFIRO

QUARTZO DIORITO FELDSPATO ANFIBÓLIO	CLORITA OPACOS EPIDOTO	MINERALÓGICA ANDESITO PÓRFIRO FELDSPATO EPIDOTO OPACOS	CLORITA
QUARTZO	APATITA	OPACOS	

- DESCRIÇÃO

A amostra analisada representa o contato entre duas litologias di ferentes, sendo que uma apresenta coloração avermelhada e granula ção grossa (plutônica) e a outra exibe cor escura e é afanítica (vulcânica).

A rocha plutônica é constituída basicamente por feldspato, lio e quartzo, com os demais minerais subordinados. O feldspato en contra-se bastante desenvolvido, saussuritizado e com do tipo albita que não permitem uma caracterização segura da compo sição do plagioclásio. Observa-se que este mineral geralmente apre senta um halo de alteração nas suas bordas e frequentes intercres cimentos. Cristais de feldspato de granulometria mais fina ocorrem em uma faixa limitada, não mostram geminações e exibem uma de intercrescimentos com quartzo(?). O anfibólio é o máfico minante, está presente de duas maneiras distintas: ou como tais bem desenvolvidos e irregulares que apresentam pleocroismo es verdeado e inúmeras inclusões principalmente de minerais opacos, ou com um aspecto fibroso que o caracteriza como pertencente a tremolita-actinolita. Grãos de quartzo de formas bastante irregula res distribuem-se entre os interstícios dos outros minerais. A apa tita tem uma ocorrência subordinada aos demais constituintes.

A rocha vulcânica possui uma textura porfirítica, caracterizada por uma matriz extremamente fina, provavelmente constituída de feldspato, opacos, epidoto e anfibólio. Os fenocristais estão representados por feldspato que se encontram sendo substituídos pelo epidoto. Devido ao alto grau de alteração deste mineral torna-se impossível definir com segurança a composição do mesmo. Lamelas de clorita têm uma ocorrência restrita, estão presentes sob a forma de agregados, possivelmente substituíndo cristaís de anfibólio (?).

A rocha vulcânica foi chamada de andesito pórfiro apesar de não se ter definido a composição do plagioclásio. Esta classificação está sujeita a revisão, pois não conhecemos as relações de campo que po dem auxiliar na denominação da mesma.

INTERESSADO:	·	Nº DA AMOSTRA:	Nº DA FICHA:
METAMAT		AJ-008-3	039-86
LOCALIZAÇÃO:		PETROGR.:	
	}	M.C.B. Ferre	ira
	CLASSIF	FICAÇÃO	,
	Análise de S		,
	Milatise de 3	eçao rollua	
	COMPOSIÇÃO	MINERALÓGICA	
			ι

- DESCRIÇÃO -

Nesta seção não foram observados minerais opacos. Os constituintes aparentemente opacos em seção delgada, que aparecem como minerais de reflectividade ligeiramente superior a dos minerais da ganga e \underline{a} presentam intensos reflexos internos, são provavelmente minerais da série dos espinélios, comuns nesse tipo de rocha (rochas básicas).

INTERESSADO: METAMAT	Nº DA AMOSTRA: AJ-013-3	Nº DA FICHA: 040-86
LOCALIZAÇÃO:	PETROGR.;	
	M.C.B.Eerrei	i ra

ANÁLISE DE SEÇÃO POLIDA

--- COMPOSIÇÃO MINERALÓGICA -

MINERAIS OPACOS:

Pirita

Covelita

Calcopirita

--- DESCRIÇÃO -----

Os minerais opacos restringem-se exclusivamente a um veio com espessura média em torno de 1mm composto essencialmente por pirita, com calcopirita e covelita de ocorrência restrita.

O veio metálico consiste num agregado de cristais irregulares de pirita, observando-se raramente faces bem desenvolvidas. Os cristais de pirita apresentam frequentes inclusões de silicatos e,muito raramente, inclusões de calcopirita. A covelita é também muito rara e distribui-se nas proximidades do veio de pirita.

OBS: Na seção polida analisada o veio tem 1.2cm de comprimento.

INTERESSADO:	Nº DA AMOSTRA:	Nº DA FICHA:
METAMAT	AJ-016-3	041-86
LOCALIZAÇÃO:	PETROGR.:	ino

---- CLASSIFICAÇÃO --ANÁLISE DE SEÇÃO POLIDA

· COMPOSIÇÃO MINERALÓGICA -

MINERAIS OPACOS:

Esfalerita Pirita

Calcopirita Galena

— DESCRIÇÃO —

Na seção analisada apenas um agregado de opacos é observado. Con siste principalmente em cristais irregulares de esfalerita,os quais atingem até 2mm de maior dimensão e contém frequentes inclusões ar redondadas de calcopirita (até 0.05mm de diâmetro). São observadas, ainda, esporádicas inclusões de pirita (0.2mm) e de galena (0.03 a 0.08mm).

O restante da amostra consiste essencialmente dos minerais da ganga, que estão representados pirncipalmente por quartzo (veio?).

INTERESSADO:	Nº DA AMOSTRA: GD-009-3	Nº DA FICHA: 042-86
LOCALIZAÇÃO:	PETROGR.:	:
· ·	M.C.B.Ferreira	

ANÁLISE DE SEÇÃO POLIDA

- COMPOSIÇÃO MINERALÓGICA -

MINERAIS OPACOS:

Pirita

Calcopirita

- DESCRIÇÃO -

A pirita constitui o mineral opaco mais abundante na seção analisa da, sendo a calcopirita um componente muito raro, o qual ocorre co mo pequenissimas inclusões na pirita. Esta apresenta-se em aglomera dos de cristais individualizados bem desenvolvidos, às vezes par cial ou inteiramente limitados por faces bem definidas, com maiores dimensões variando de 0,1 a lmm aproximadamente. Tais aglomerados a presentam formas irregulares e até cerca de 2.5mm de maior dimensão.

BOLETINS DE ANALISES PETROQUÍMICAS

BR-153 Km 2 - FONE 261-33-00-TELEX 0622340-GOIANIA-GO

<u>3654/86</u>

Boletim de Análise

Νō	49174	

	· · · · · · · · · · · · · · · · · · ·	
	COMPANHIA MATOGROSSENSE	TIPO AMOSTHA ROCHA
INTERESSADO -	OUL INTEREST OF COMMERCE	DITT U DD TO A OTO
· · · · ·		PHEPARAÇÃO PULV IRIZAÇÃO
		ATAQUE ÁGUA RÉGIA
LOCAL		M ANALITICO ABSORÇÃO ATÔMICA
RESP	GEOL. MICKIC S. P. DE DAME	M. ANALITICO

NO DA AMOGEDA	Cu	Li	Mn	Ni	P ₂ O ₅	Pb	Rb
NY DA AMOSTRA	_ppm	ppm	ngg	ppm	2 3	ррл	ppm
AJ-002-3	75	35 -	880	95	0,31	15	95
•	5	5	50	5	< 0,10	15	725
	275	65	1080	60	0,28	905	120
							·
GD-001-3	20	10	540	5.	< 0,10	35_	795
	50	35	420	70	0,27	25_	95_
009-3	15	10	120	10	< 0,10	15	810
WF-023-3	15	15	150_	15	0,12	45	145
r					`	<u></u> -	
					ļ <u>.</u>	<u> </u>	
					ļ		
				<u> </u>		ļ	ļ
		ļ		ļ	ļ	<u> </u>	
			.	_	ļ		
					- -	ļ	
		<u> </u>		.	ļ	ļ	
		<u> </u>			.	<u> </u>	<u> </u>
		ļ	ļ	ļ	<u> </u>	ļ	
		<u> </u>				 	
					·	ļ	
		ļ	<u> </u>	 	· -		
				-		ļ	
		<u> </u>			-		
		ļ		.			
		I	1	i	1		1
	WF-023-3	Dpm AJ-002-3 75 009-3 5 013-3 275 GD-001-3 003-3 50 009-3 15 WF-023-3 15	AJ-002-3 75 35 009-3 5 5 013-3 275 65 GD-001-3 20 10 003-3 50 35 009-3 15 10 WF-023-3 15 15	ppm ppm ppm ppm	ppm ppm ppm ppm ppm ppm ppm	Dpm Dpm Dpm Dpm \$ AJ-002-3	Dpm Dpm Dpm Dpm S Dpm

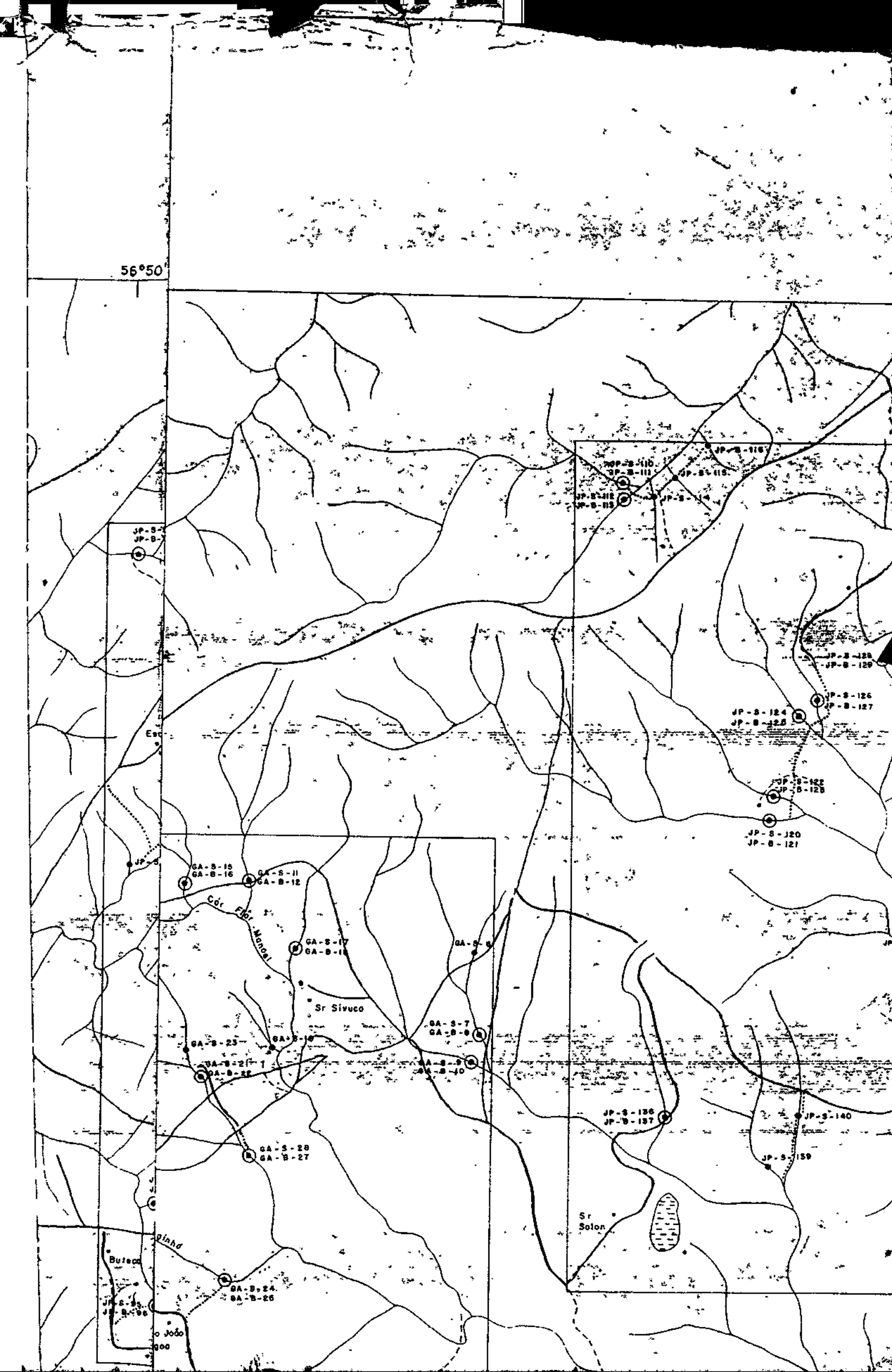
PEDIDO DE 03/3	DETEC/86
 	07

AtxA

28



MARA GEOLOGICO ESQUEMÁTICO



MAPA INTEGRADO DE ZONAS ANÔMALAS PARA OURO, COBRE, CHUMBO, ZINCO, COBALTO E NÍQUEL

MAPA DE ZONAS ANÔMALAS PARA FERRO, MANGANÊS, TÓRIO
E TITÂNIO

A N E X O 09

MAPA DO SUB-ALVO "Ax"

MAPA DO SUB-ALVO "Ab"

A N E X O 11

MAPA DO SUB-ALVO "By"